



1. ผลการทดลอง P. cohorticula

1.1 ความสัมพันธ์ระหว่าง fluorescence number และ cell count number

ความสัมพันธ์ของค่า fluorescence number ที่อ่านได้จากวัดการเจริญของเซลล์ และ ค่าของ cell count number ที่ลุ่มนับได้หลังจากการเจริญด้วยเครื่อง fluorometer พบว่าถึงสองค่ามีความสัมพันธ์กันแบบเส้นตรง ดังแสดงในรูปที่ ๖ จากความสัมพันธ์นี้จึงนำไปใช้ในการคำนวณหาอัตราการเจริญของเซลล์ในการทดลองต่อไป

1.2 ผลการทดลองหาช่วงระดับความเค็มที่เหมาะสมต่อการเจริญ

ในการทดลองหาช่วงความเค็มที่เหมาะสมต่อการเจริญของ P. cohorticula โดยใช้น้ำทะเลเทียม (ASP) เมื่อเติมสารอาหารตามสูตร T.1 ที่ระดับความเค็มต่ำ ๆ คือ 20, 25, 30, 35 และ 40 % พบว่า P. cohorticula มีอัตราการเจริญเฉลี่ย (k) ตอบสนองต่อระดับความเค็มที่สุดอยู่ในช่วง 20 - 30 %. โดยที่ระดับความเค็ม 30 %. ให้อัตราการเจริญเฉลี่ยต่ำสุด ดังแสดงในตารางที่ 4 และ รูปที่ 7 - 8 จึงเลือกใช้ระดับความเค็ม 30 %. ใน การทดลองหาช่วงระดับความเข้มข้นของกรดอิวมิกที่เหมาะสมต่อการเจริญในการทดลองที่ 1.3

1.3 ผลการทดลองหาช่วงระดับความเข้มข้นของกรดอิวมิกที่เหมาะสมต่อการเจริญ

การทดลองที่ระดับความเข้มข้นของกรดอิวมิก (HA) ในน้ำทะเลเทียมเป็น 1, 2, 5, 10, 20 และ 30 ไมโครกรัมต่อนิลลิตร ที่ระดับความเค็ม 30 % (ASP + T.1) พบว่า P. cohorticula มีอัตราการเจริญเฉลี่ยตอบสนองต่อระดับความเข้มข้นของกรดอิวมิกที่สุดอยู่ในช่วง 1 - 5 ไมโครกรัมต่อนิลลิตร ดังแสดงใน ตารางที่ 5 และ รูปที่ 9 ดังนี้จึงใช้ระดับความเข้มข้นของกรดอิวมิกในช่วงดังกล่าวในการทดลองผลต่อการเจริญร่วมกับความเค็มที่ระดับ 20, 25 และ 30 %.

1.4 ผลของความเค็มต่อการเจริญ

ที่ระดับความเข้มข้นของกรดอีวมิกในน้ำทะเลเทียม (ASP) เป็นคุณย์ (HAO)

1.4.1 เมื่อไม่เติมอาหาร (ASP + HAO) P. cohorticula มีการเจริญตอบสนองต่อระดับความเค็มสูงได้ดีกว่าที่ระดับความเค็มต่ำ โดยที่ระดับความเค็ม 25 % จะให้อัตราการเจริญเฉลี่ยต่ำสุด ดังแสดงในตารางที่ 6 และรูปที่ 10 - 11

1.4.2 เมื่อเติมสารอาหาร (ASP + T.1 + HAO) P. cohorticula มีอัตราการเจริญเฉลี่ยตอบสนองต่อความเค็มสูงได้ดีกว่าที่ระดับความเค็มต่ำ โดยที่ระดับความเค็มสูง (30 %) ให้อัตราการเจริญดีที่สุด ดังแสดงในตารางที่ 6 และรูปที่ 12 - 13

1.5 ผลของความเค็มและการอีวมิกต่อการเจริญ

1.5.1 เมื่อไม่เติมสารอาหารที่ระดับความเข้มข้นของกรดอีวมิกในน้ำทะเลเทียมเป็น 1, 2 และ 5 ในโครงการต่อมิลลิลิตร (ASP + AH1, ASP + HA2 และ ASP + HA5)

ที่ระดับความเค็ม 20 %. การเจริญของ P. cohorticula มีแนวโน้มดีขึ้นเมื่อความเข้มข้นของกรดอีวมิกมีค่าเพิ่มขึ้น โดยที่ความเข้มข้นของกรดอีวมิกในน้ำทะเลมีค่า 5 ในโครงการต่อมิลลิลิตร จะให้อัตราการเจริญดีที่สุด ดังแสดงในตารางที่ 7a และรูปที่ 14 และ 17

ที่ระดับความเค็ม 25 % และ 30 % อัตราการเจริญเฉลี่ยของ P. cohorticula ในน้ำทะเลเทียม ซึ่งมีระดับความเข้มข้นของกรดอีวมิกเป็น 1 และ 2 ในโครงการต่อมิลลิลิตร พบว่า อัตราการเจริญเฉลี่ยใกล้เคียงกัน และที่ระดับความเข้มข้นของกรดอีวมิกเป็น 5 ในโครงการต่อมิลลิลิตร ให้การเจริญดีที่สุด ดังแสดงในตารางที่ 7b และ c และรูปที่ 15 - 17

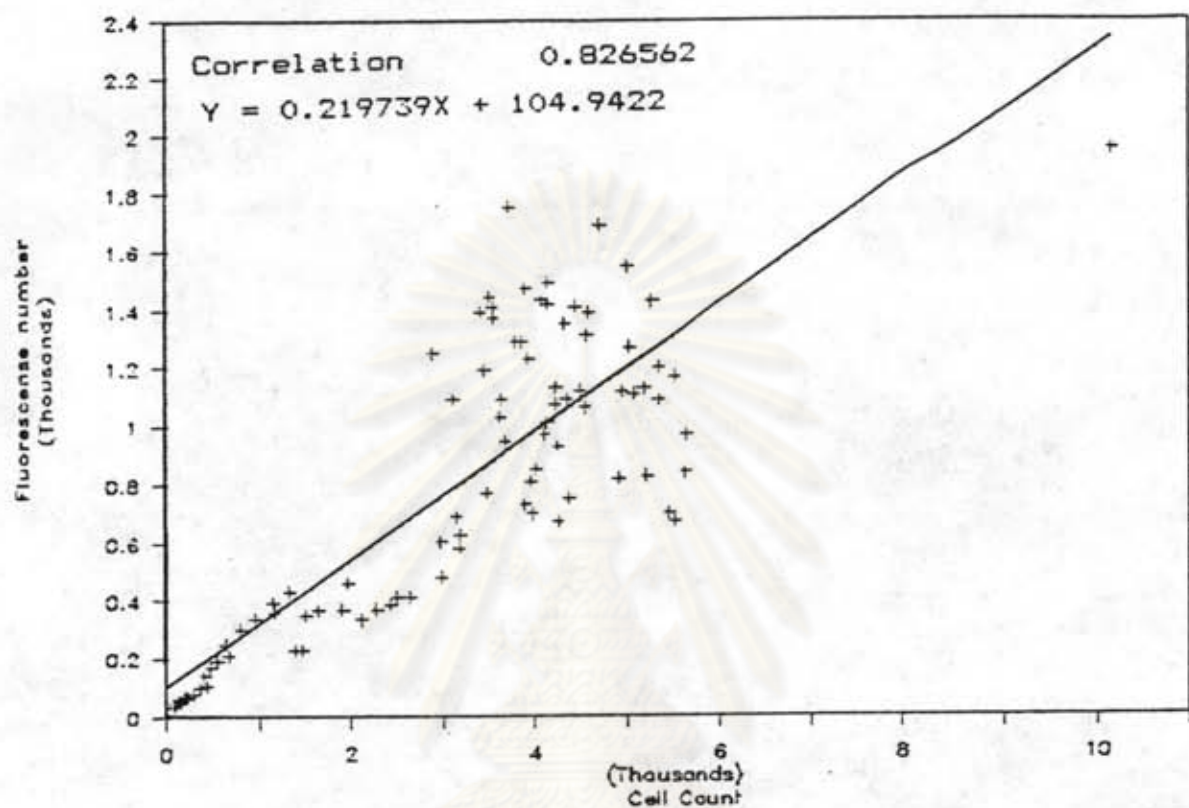
1.5.2 เมื่อเติมสารอาหาร (ASP + T.1)

ที่ระดับความเข้มข้นของกรดอีวมิกในน้ำทะเลเทียมเป็น 1, 2 และ 5 ในโครงการต่อมิลลิลิตร ของระดับความเค็ม 20 และ 25 %. พบว่า กรดอีวมิกไม่กระตุ้นให้มีการเจริญ ดังแสดงในตารางที่ 8a และ b และรูปที่ 18, 19 และ 21

แท้ที่ระดับความเข้มข้นของกรดไฮมิกในน้ำทະเลเที่ยมเป็น 1, 2 และ 5 ในโครงการท่อเมลลิลิตร ของระดับความเค็ม 30 ‰ พนว่ากรดไฮมิกจะช่วยให้มีการเจริญตื้นเมื่อระดับความเข้มข้นของกรดไฮมิกต่ำโดยที่ระดับ 1 ในโครงการท่อเมลลิลิตร ให้อัตราการเจริญตื้นสุด ดังแสดงในตารางที่ 8c และรูปที่ 20 - 21

1.6 การวิเคราะห์ทางสถิติ จากการวิเคราะห์ทางสถิติ ดังแสดงในตารางที่ 9 - 10 พบว่า

1. ที่ความเค็มระดับต่าง ๆ อัตราการเจริญของ P. cohorticula จะมีความแตกต่างกันอย่างมีนัยสำคัญทางสถิติ
2. อัตราการเจริญของ P. cohorticula ที่ความเข้มข้นของกรดไฮมิกระดับต่าง ๆ มีความแตกต่างกันอย่างมีนัยสำคัญทางสถิติ
3. P. cohorticula มีอัตราการเจริญตอบสนองต่อความเข้มข้นของสารอาหารต่างกันอย่างมีนัยสำคัญทางสถิติ
4. อิทธิพลร่วมระหว่างกรดไฮมิกและความเค็ม ให้ผลต่อการเจริญของ P. cohorticula แตกต่างกันอย่างมีนัยสำคัญทางสถิติ
5. อิทธิพลร่วมระหว่างความเค็มและสารอาหาร ให้ผลต่อการเจริญของ P. cohorticula แตกต่างกันอย่างมีนัยสำคัญทางสถิติ
6. อิทธิพลร่วมระหว่างกรดไฮมิกและสารอาหาร ให้ผลต่อการเจริญของ P. cohorticula แตกต่างกันอย่างมีนัยสำคัญทางสถิติ
7. อิทธิพลร่วมของความเค็ม กรดไฮมิกและสารอาหาร ให้ผลต่อการเจริญของ P. cohorticula แตกต่างกันอย่างมีนัยสำคัญทางสถิติ



รูปที่ 6. ความสัมพันธ์ระหว่างค่าของ fluorescence number กับ ค่าของจำนวนเซลล์
P. cohorticula

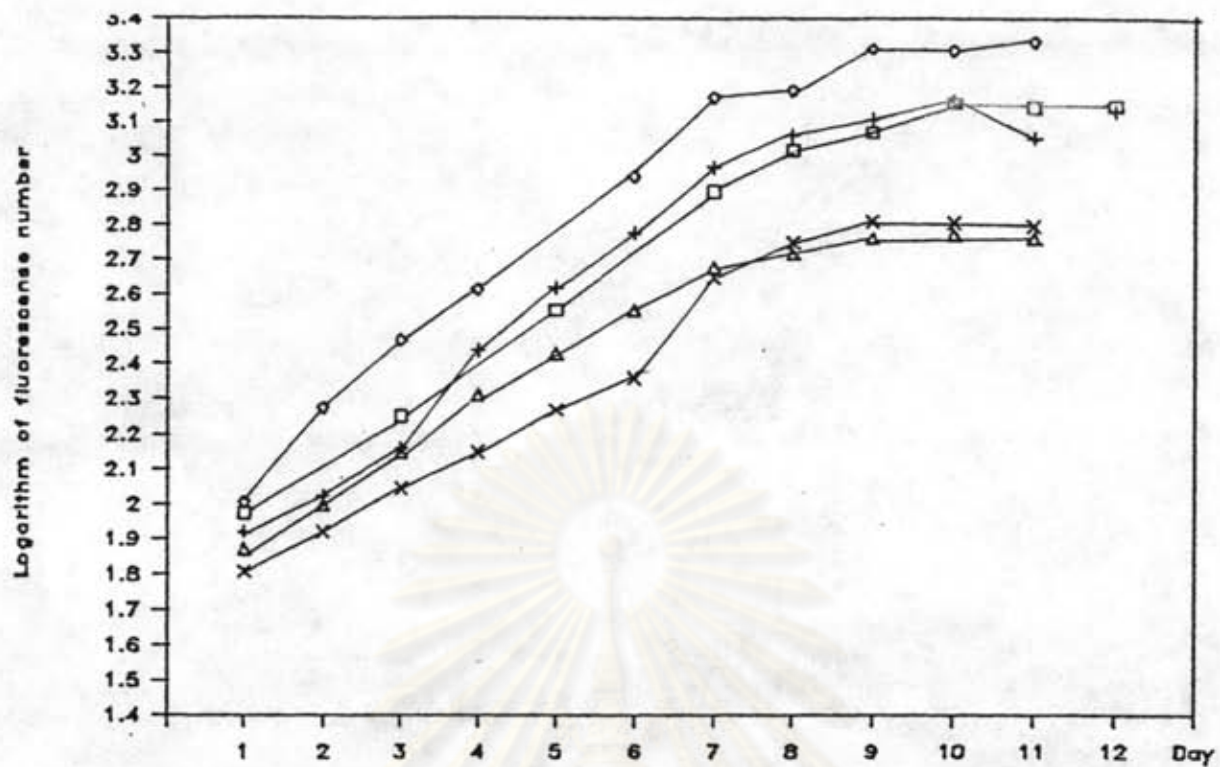
ศูนย์วิทยทรัพยากร
จุฬาลงกรณ์มหาวิทยาลัย

ตารางที่ 4. อัตราการเจริญเติบโตและเวลาที่ใช้ในการเพิ่มประชากรเป็นสองเท่าของ
P. cohorticula ที่ระดับความเค็มต่าง ๆ

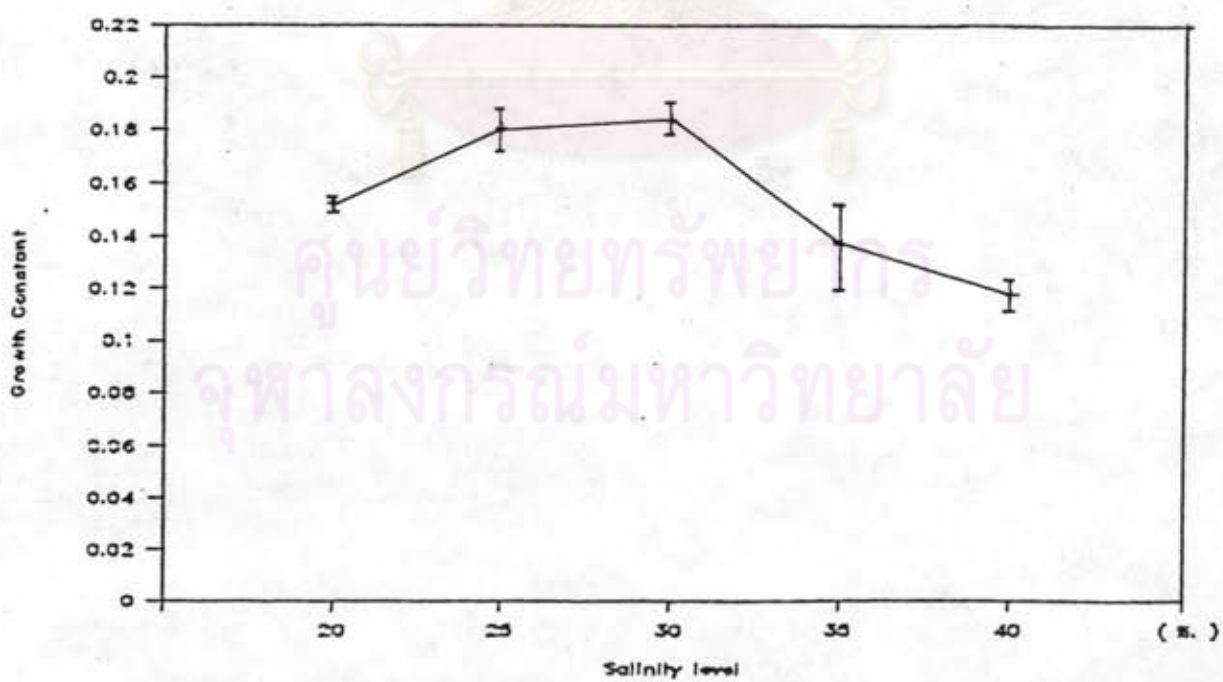
Salinity (%)	Growth Constant $K_{10} \pm SD (\text{day}^{-1})$	Doubling Time D.T. (hrs.)
20	0.152±0.003	47.5
25	0.181±0.013	39.9
30	0.184±0.009	39.3
35	0.137±0.020	52.7
40	0.118±0.007	61.2

ตารางที่ 5. อัตราการเจริญเติบโตและเวลาที่ใช้ในการเพิ่มประชากรเป็นสองเท่าของ
P. cohorticula ที่ระดับความเค็ม 30 %. ต่างระดับความเข้มข้น
 ของกรดอีวมิก

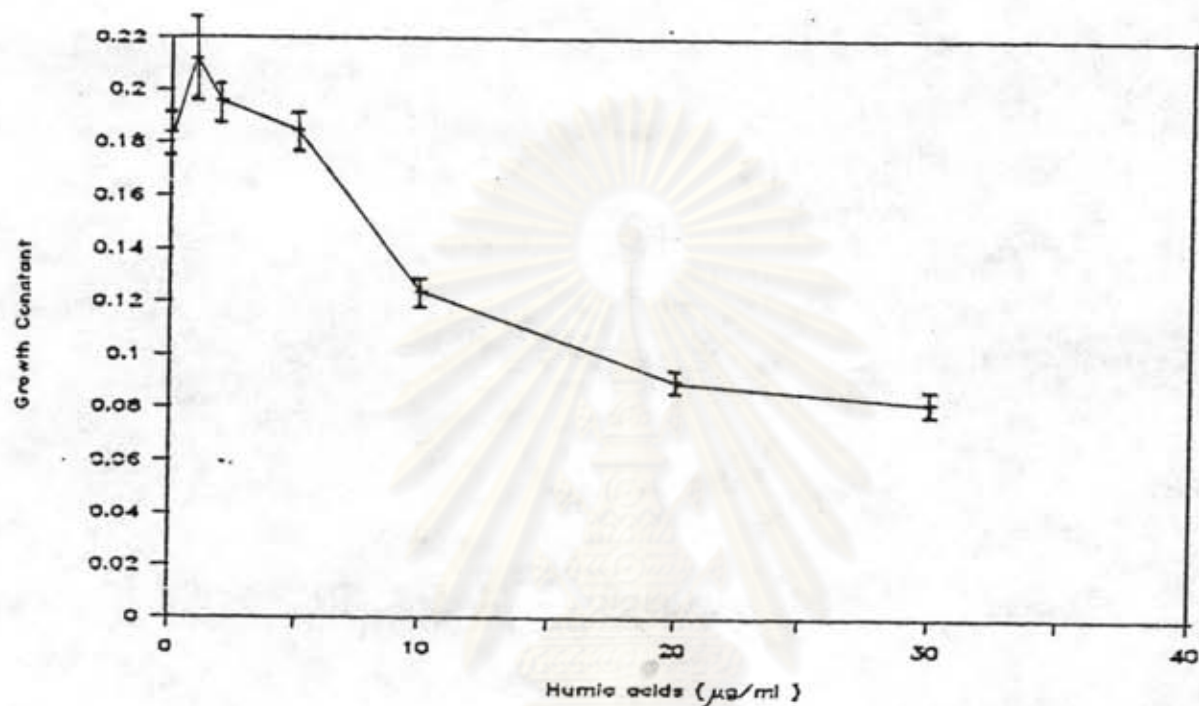
30 % + Humic acids ($\mu\text{g}/\text{ml}$)	Growth Constant $K_{10} \pm SD (\text{day}^{-1})$	Doubling Time D.T. (hrs.)
0	0.184±0.009	39.3
1	0.212±0.023	34.1
2	0.196±0.007	36.9
5	0.185±0.005	39.0
10	0.124±0.003	58.3
20	0.091±0.001	79.4
30	0.083±0.002	87.0



รูปที่ 7. กราฟการเจริญของ *P. cohorticula* ที่ระดับความเค็ม 20 % (□),
25 %, (+), 30 %, (◊), 35 %, (△) และ 40 %, (×)



รูปที่ 8. อัตราการเจริญเฉลี่ยของ *P. cohorticula* ที่ต่างระดับความเค็ม

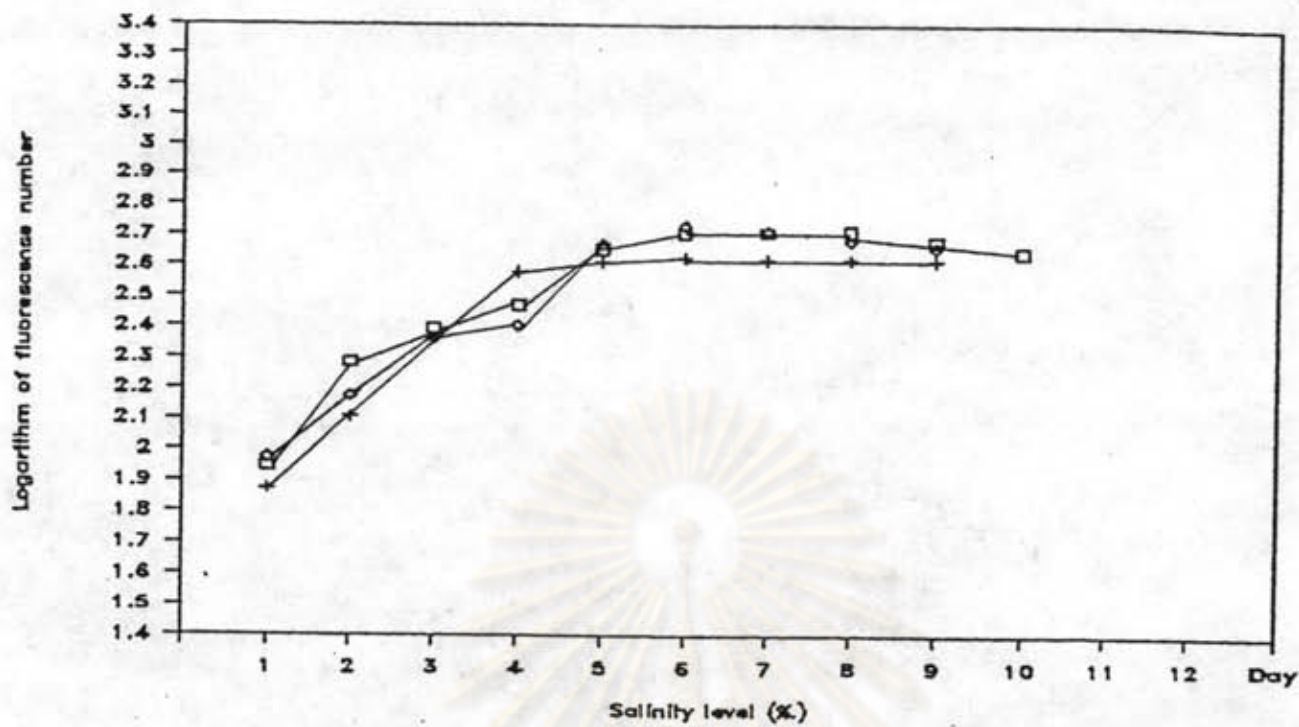


รูปที่ 9. อัตราการเจริญเติบโตของ *P. cohorticula* ที่ต่างระดับความเข้มข้นของกรดไฮมิกในน้ำ母เหลว

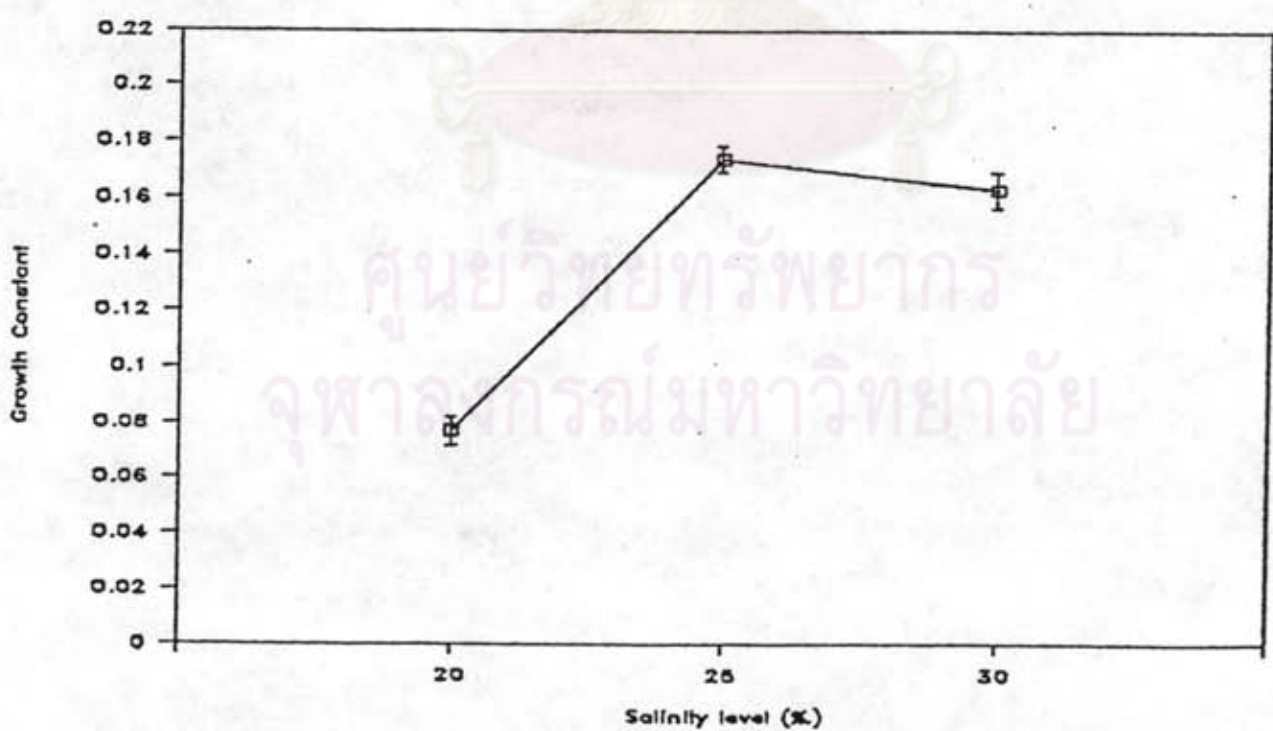
ศูนย์วิทยทรัพยากร
อุปสงค์และมหาวิทยาลัย

ตารางที่ 6. เปรียบเทียบอัตราการเจริญและเวลาที่ใช้ในการเพิ่มปรับซากให้เป็นสูงเท่าของ *P. cohorticula* ที่ระดับความเค็มต่าง ๆ เมื่อไดร์บีทึ่น
ข้องความเค็ม (ASP) และเมื่อไดร์บีทึ่นพร้อมของความเค็มและสารอาหาร (ASP + T.1)

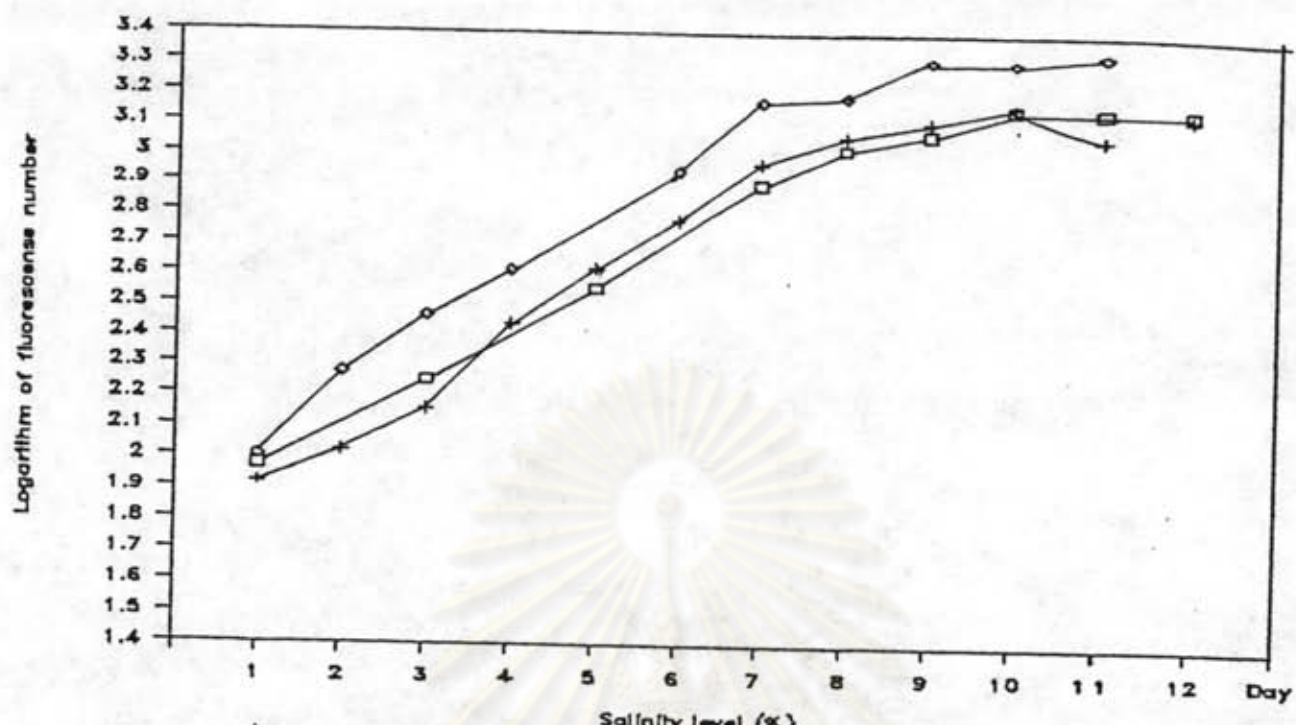
Humic acid 0 $\mu\text{g/ml}$	<i>P. cohorticula</i>		Growth Constant $K \pm SD (\text{day}^{-1})$	Doubling Time D.T. (hrs.)	Growth Constant $K \pm SD (\text{day}^{-1})$	Doubling Time D.T. (hrs.)
	ASP	ASP+T1				
Salinity (%)	Growth Constant $K \pm SD (\text{day}^{-1})$	Doubling Time D.T. (hrs.)	Growth Constant $K \pm SD (\text{day}^{-1})$	Doubling Time D.T. (hrs.)	Growth Constant $K \pm SD (\text{day}^{-1})$	Doubling Time D.T. (hrs.)
	20	0.077±0.004	93.82	0.152±0.003	47.53	
	25	0.174±0.003	41.5	0.181±0.003	39.9	
30	0.163±0.004	44.3	0.184±0.009	39.3		



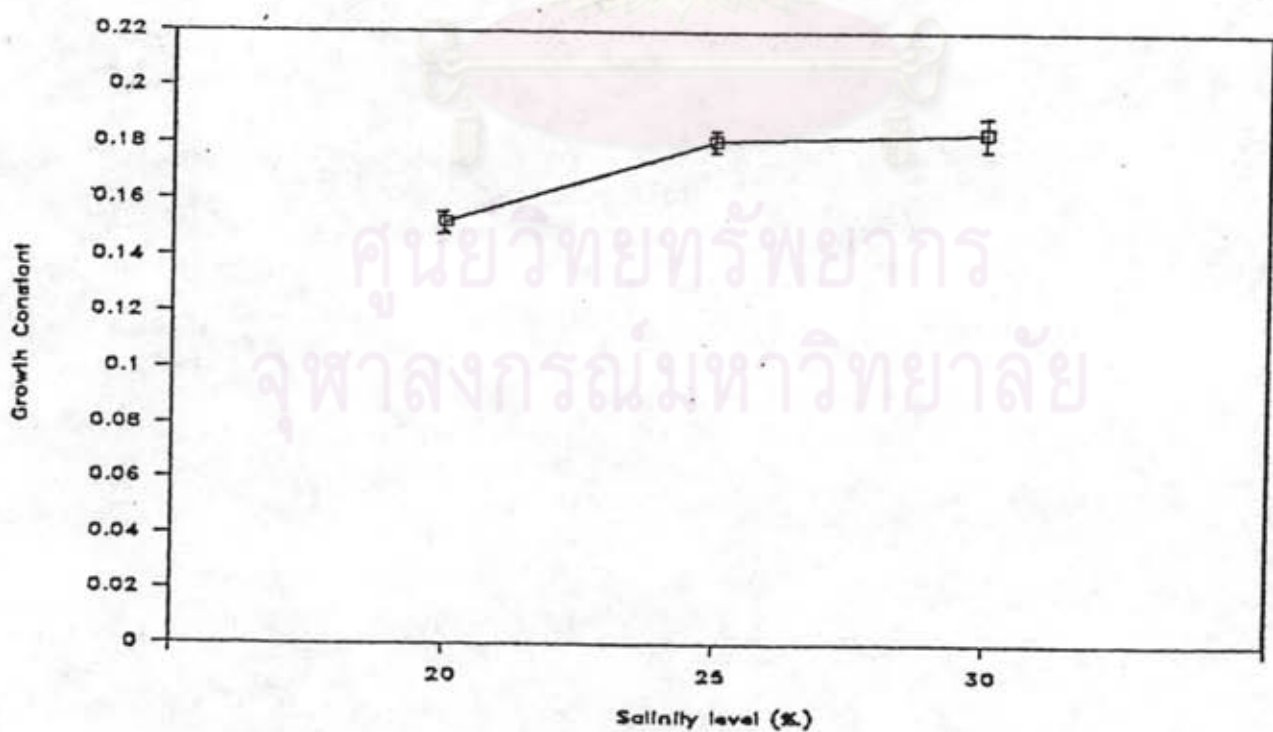
รูปที่ 10. กราฟการเจริญของ P. cohorticula เมื่อได้รับอิทธิพลของความเค็มที่ระดับ 20 %. (□), 25 %. (+) และ 30 %. (◇)



รูปที่ 11. อัตราการเจริญเฉลี่ยของ P. cohorticula เมื่อได้รับอิทธิพลของความเค็มที่ระดับต่าง ๆ



รูปที่ 12. กราฟการเจริญของ *P. cohorticula* เมื่อได้รับอิทธิพลร่วมของความเค็ม และสารอาหาร ที่ระดับความเค็ม 20 %, (□), 25 %, (+) และ 30 %, (◇)



รูปที่ 13. อัตราการเจริญเฉลี่ยของ *P. cohorticula* เมื่อได้รับอิทธิพลของสารอาหาร ที่ระดับความเค็มต่าง ๆ

I1029bb33.

ตารางที่ 7. อัตราการเจริญเติบโตของ P. cohorticula ที่ระดับความเค็มต่าง ๆ และต่างระดับความเข้มข้นของกรดไขวมกีไนต์ที่แลค

A. ที่ระดับความเค็ม 20 %.

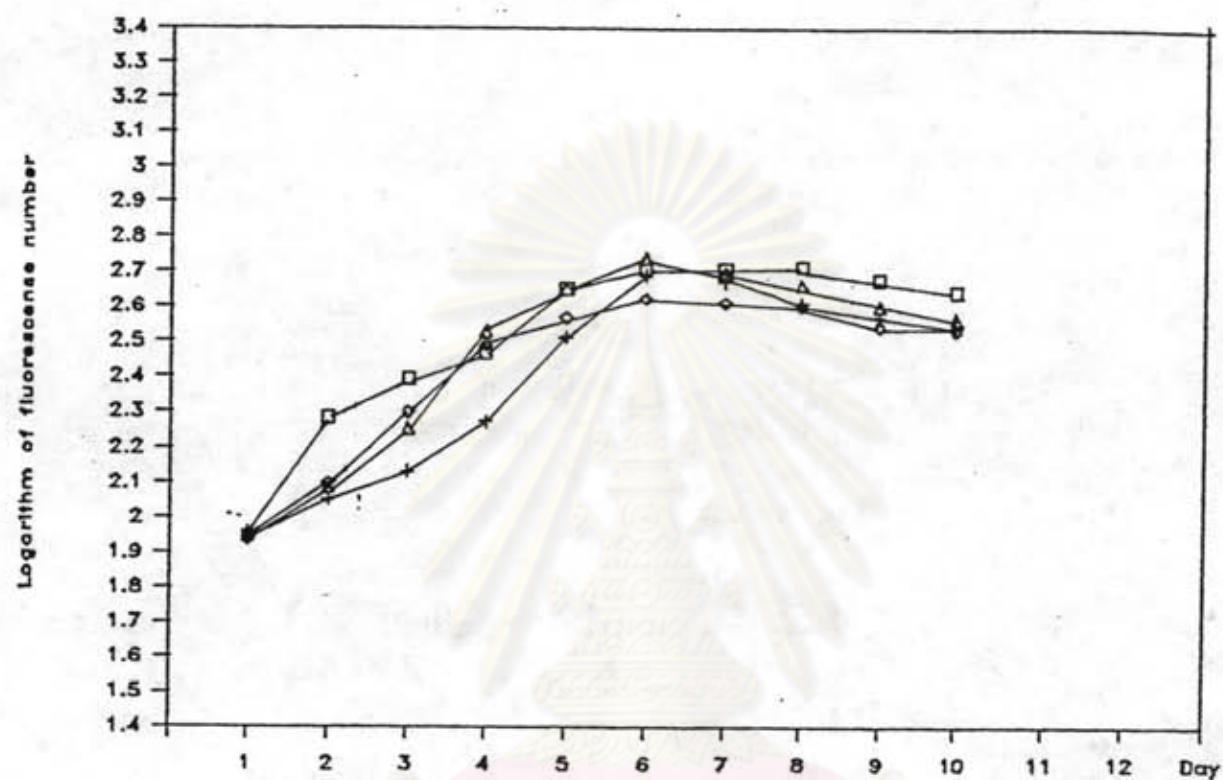
Humic acids concentration ($\mu\text{g/ml}$)	ASP	
	Growth Constant $K \pm \text{SD}(\text{day}^{-1})$	Doubling Time D.T.(hrs.)
0	0.077 \pm 0.004	93.82
1	0.166 \pm 0.005	43.52
2	0.132 \pm 0.004	54.73
5	0.171 \pm 0.007	42.25

B. ที่ระดับความเค็ม 25 %.

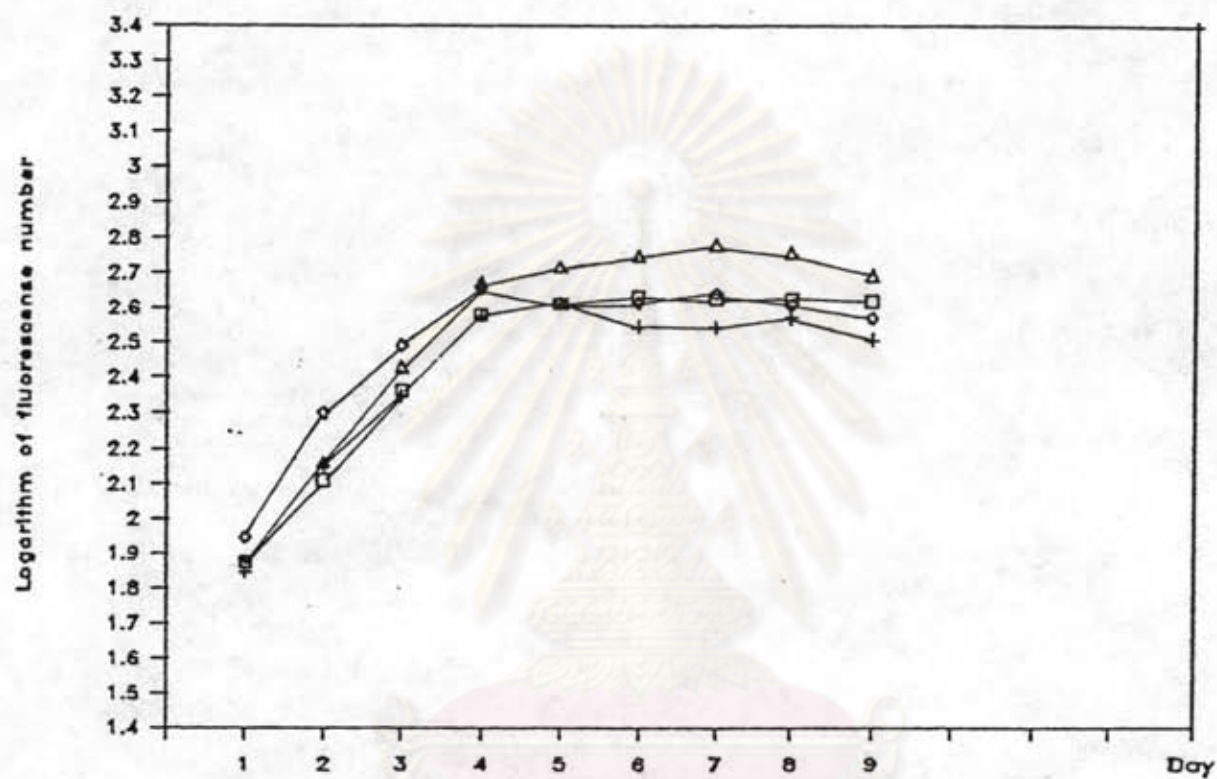
Humic acids concentration ($\mu\text{g/ml}$)	ASP	
	Growth Constant $K \pm \text{SD}(\text{day}^{-1})$	Doubling Time D.T.(hrs.)
0	0.174 \pm 0.003	41.5
1	0.162 \pm 0.004	44.6
2	0.169 \pm 0.004	42.7
5	0.194 \pm 0.007	37.2

C. ที่ระดับความเค็ม 30 %.

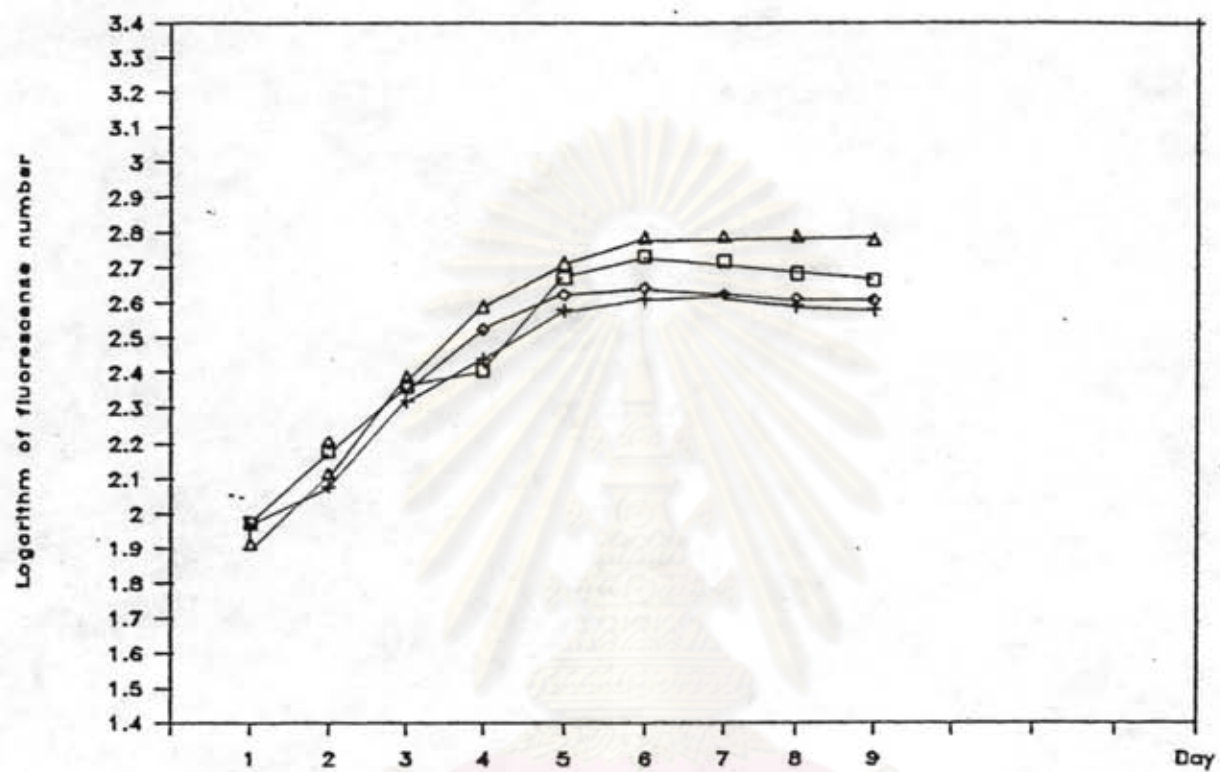
Humic acids concentration ($\mu\text{g/ml}$)	ASP	
	Growth Constant $K \pm \text{SD}(\text{day}^{-1})$	Doubling Time D.T.(hrs.)
0	0.163 \pm 0.004	44.3
1	0.162 \pm 0.007	44.6
2	0.163 \pm 0.006	44.3
5	0.208 \pm 0.011	34.7



รูปที่ 14. กราฟการเจริญของ *P. cohorticula* เมื่อได้รับอิทธิพลร่วมของความเค็มที่ระดับ 20 % และมีความเข้มข้นของกรดอิวมิกในน้ำทะเลที่ระดับ 0 (□), 1 (+), 2 (◇), และ 5 (△) ในปริมาณต่อมิลลิลิตร



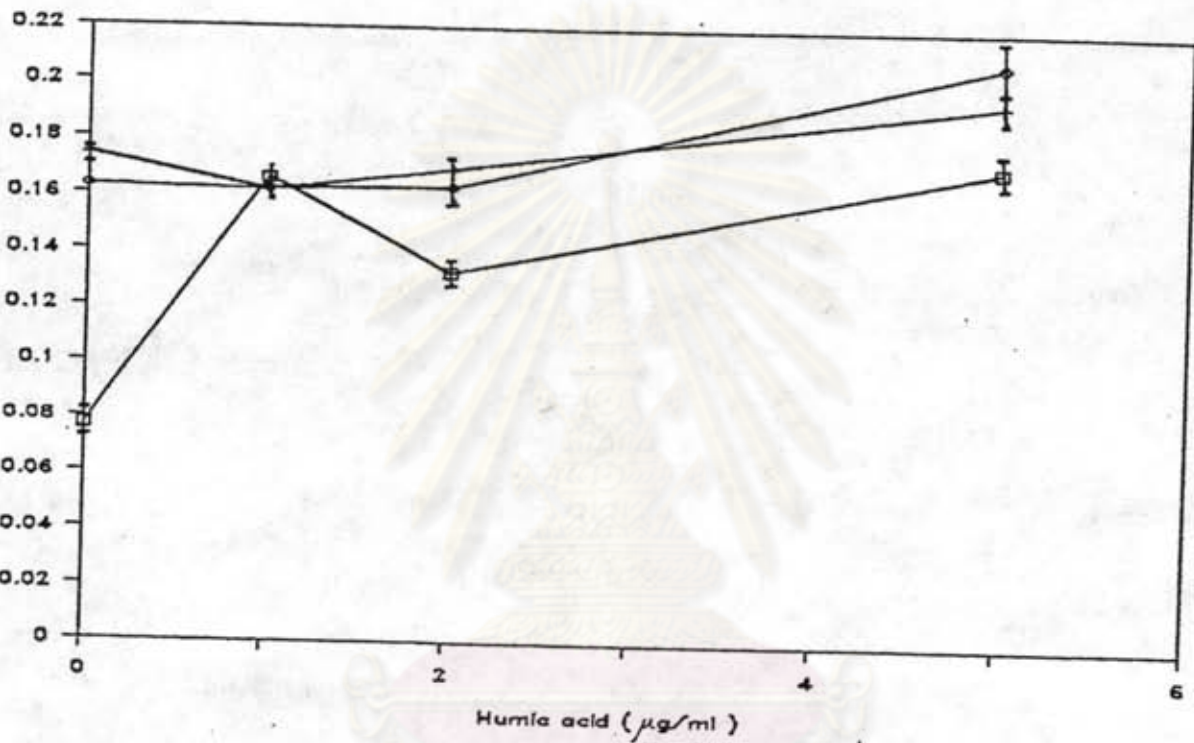
รูปที่ 15. กราฟการเจริญของ *P. cohorticula* เมื่อได้รับอิทธิพลร่วมของความเค็มที่ระดับ 25 %. และความเข้มข้นของกรดวิวมิกในน้ำทะเลที่ระดับ 0 (□), 1 (+), 2 (◇) และ 5 (△) ในโครงรัมต่อมิลลิลิตร



รูปที่ 16. กราฟการเจริญของ *P. cohorticula* เมื่อได้รับอิทธิพลร่วมของความเค็ม
ที่ระดับ 30 % และความเข้มข้นของกรดบิวมิกในน้ำทะเลที่ระดับ 0 (□),
1 (+), 2 (◇) และ 5 (△) ในโครงรัมต่อมิลลิลิตร



Growth Constant



รูปที่ 17. อัตราการเจริญเติบโตของ *P. cohorticula* เมื่อได้รับอิทธิพลร่วมของกรด
อิามิกที่ต่างระดับความเข้มข้นที่ระดับความเค็ม 20 %, (□), 25 %,
(+) และ 30 %. (○)

ตารางที่ 8. อัตราการเจริญเติบโตของ P. cohorticula ที่ระดับความเค็มต่าง ๆ และ⁴¹
ต่างระดับความเข้มข้นของกรดอิวมิกในน้ำทะเล เมื่อได้รับอิทธิพลของสารอาหาร

A. ที่ระดับความเค็ม 20 %.

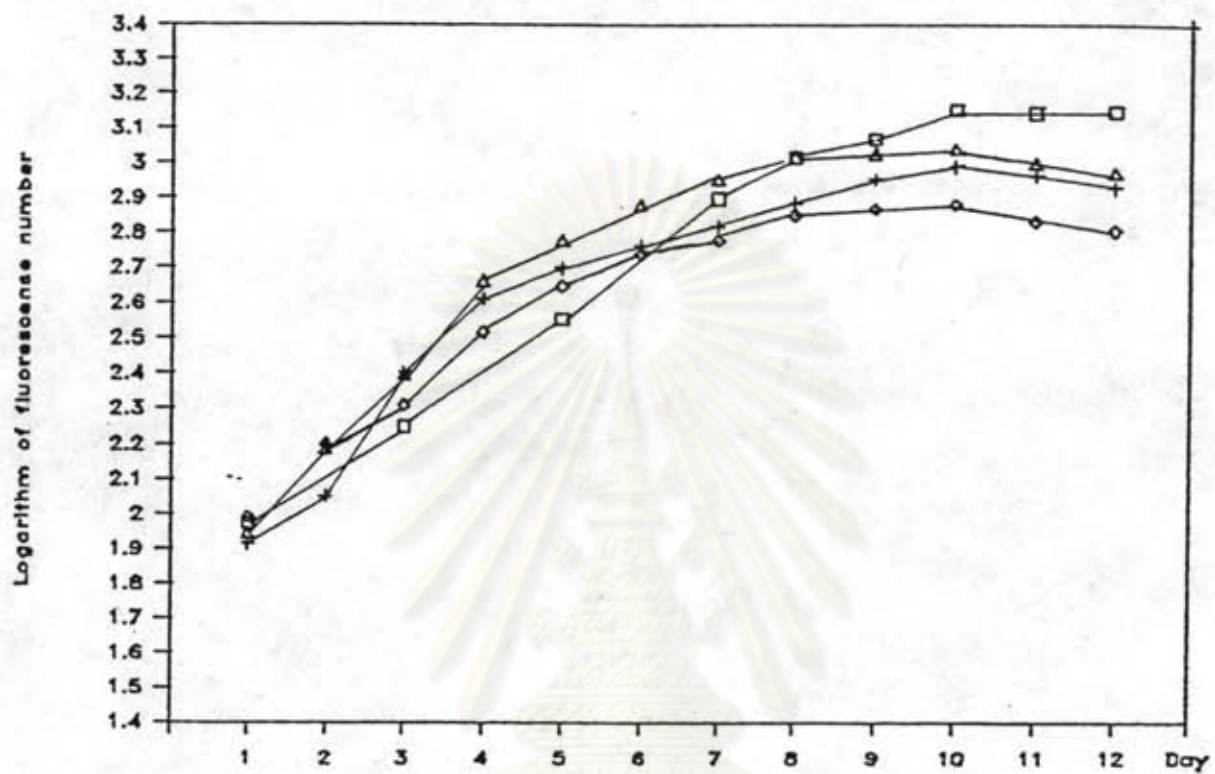
Humic acids concentration ($\mu\text{g/ml}$)	ASP+TI	
	Growth Constant $K \pm SD(\text{day}^{-1})$	Doubling Time D.T.(hrs.)
0	0.152±0.003	47.53
1	0.101±0.009	71.52
2	0.087±0.012	83.03
5	0.103±0.006	70.14

B. ที่ระดับความเค็ม 25 %.

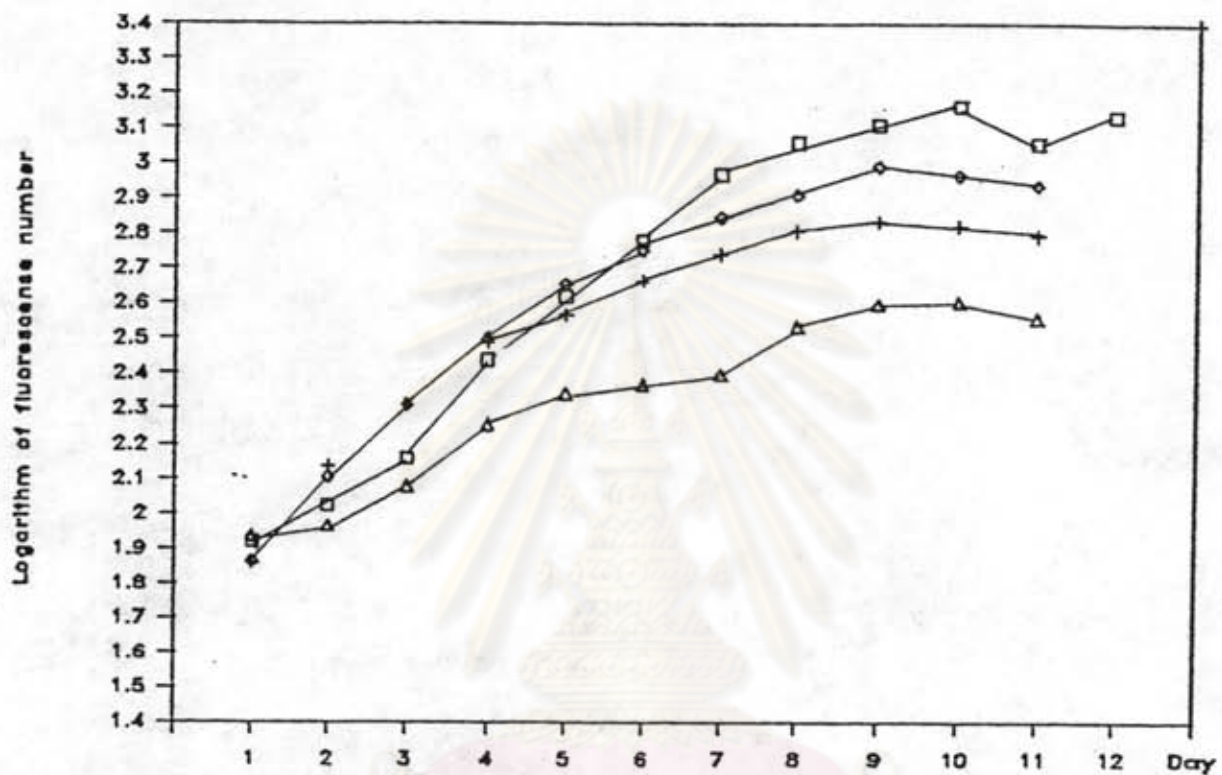
Humic acids concentration ($\mu\text{g/ml}$)	ASP+TI	
	Growth Constant $K \pm SD(\text{day}^{-1})$	Doubling Time D.T.(hrs.)
0	0.181±0.003	39.9
1	0.131±0.004	55.1
2	0.133±0.004	54.3
5	0.008±0.007	82.1

C. ที่ระดับความเค็ม 30 %.

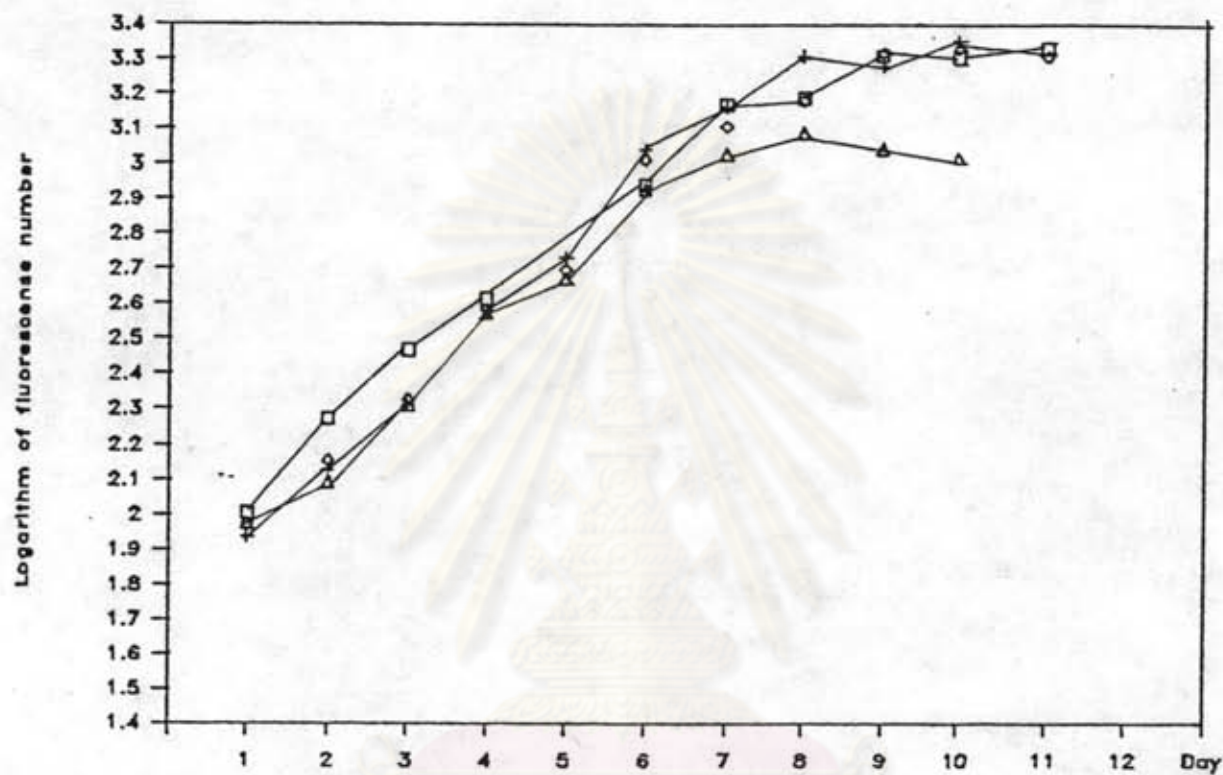
Humic acids concentration ($\mu\text{g/ml}$)	ASP+TI	
	Growth Constant $K \pm SD(\text{day}^{-1})$	Doubling Time D.T.(hrs.)
0	0.184±0.009	39.3
1	0.212±0.023	34.1
2	0.196±0.007	36.9
5	0.185±0.005	39.0



รูปที่ 18. กราฟการเจริญของ *P. cohorticula* เมื่อได้รับอิทธิพลร่วมของสารอาหาร
ที่ระดับความเค็ม 20 %. และ ความเข้มข้นของกรดอีวามิกในน้ำகະເລີກທີ່ກະຕຸນ
0 (□), 1 (+), 2 (◇) และ 5 (△) ในโครงการต่อミニລິລິຕາ

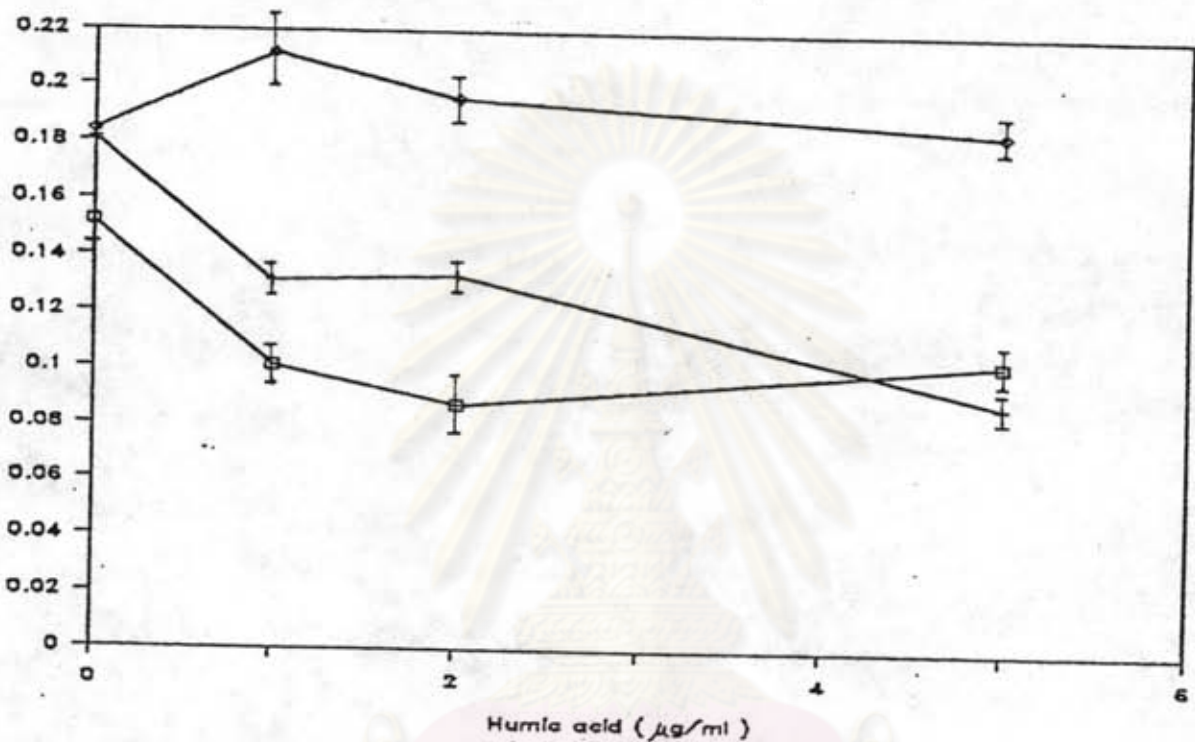


รูปที่ 19. กราฟการเจริญของ *P. cohorticula* เมื่อได้รับอัตราพลังงานของสารอาหาร
ที่ระดับความเค็ม 25 %. และความเข้มข้นของกรดบิวมิกในน้ำ苔ะเลที่ระดับ
0 (□), 1 (+), 2 (○) และ 5 (△) ในโครงการท่อมิลลิลิตร



รูปที่ 20. กราฟการเจริญของ *P. cohorticula* เมื่อได้รับอัตราพลร่วมของสารอาหาร
ที่ระดับความเนื้ม 30 %. และความเข้มข้นของกรดวิมิกในน้ำகະເລກที่ระดับ
0 (□), 1 (+), 2 (◇) และ 5 (△) ในโครงรัมท่อมิลลิลิตร

Growth Constant



รูปที่ 21. อัตราการเจริญเติบโตของ *P. cohorticula* เมื่อได้รับอินทรีย์ของสารอาหาร และกรดไฮมิกต่างระดับความเข้มข้นที่ระดับความเค็ม 20 %, (□), 25 %, (+) และ 30 %, (◇)

ตารางที่ 9. อัตราการเจริญเติบโตของ P. cohorticula เมื่อได้รับอิทธิพลของความเค็ม
สารอาหาร และกรดไฮมิก

Humic Acids ($\mu\text{g/ml}$) A	Salinity (‰) B	Nutrient Enrichment (ml/l) C	Replications (Growth Constant)			Average Growth Constant
			1	2	3	
$a_1 = 0$	$b_1 = 20$	$c_1 = 0$	0.073	0.081	0.077	0.077
		$c_2 = 1$	0.151	0.151	0.155	0.152
		$c_1 = 0$	0.170	0.175	0.177	0.174
	$b_2 = 25$	$c_2 = 1$	0.178	0.183	0.182	0.181
		$c_1 = 0$	0.158	0.165	0.166	0.163
		$c_2 = 1$	0.180	0.178	0.194	0.184
$a_2 = 1$	$b_1 = 20$	$c_1 = 0$	0.160	0.170	0.168	0.166
		$c_2 = 1$	0.095	0.097	0.111	0.101
		$c_1 = 0$	0.158	0.165	0.163	0.162
	$b_2 = 25$	$c_2 = 1$	0.127	0.135	0.131	0.131
		$c_1 = 0$	0.150	0.161	0.169	0.162
		$c_2 = 1$	0.200	0.198	0.233	0.212
$a_3 = 2$	$b_1 = 20$	$c_1 = 0$	0.128	0.136	0.132	0.132
		$c_2 = 1$	0.078	0.082	0.101	0.087
		$c_1 = 0$	0.170	0.165	0.172	0.169
	$b_2 = 25$	$c_2 = 1$	0.129	0.136	0.134	0.133
		$c_1 = 0$	0.160	0.159	0.170	0.163
		$c_2 = 1$	0.190	0.194	0.204	0.196
$a_4 = 5$	$b_1 = 20$	$c_1 = 0$	0.165	0.169	0.173	0.171
		$c_2 = 1$	0.098	0.101	0.110	0.103
		$c_1 = 0$	0.108	0.193	0.201	0.194
	$b_2 = 25$	$c_2 = 1$	0.082	0.096	0.086	0.088
		$c_1 = 0$	0.198	0.206	0.220	0.208
		$c_2 = 1$	0.180	0.186	0.169	0.185

ตารางที่ 10. ตารางวิเคราะห์ความแปรปรวนของการเจริญของ P. cohorticula แบบ
แฟกตอร์เรียลที่มี 3 แฟกเตอร์

Source of Variation SOV	df	SS	MS	F
Humic acids,A	3	0.0014	0.0005	14.6851 *
Salinity,B	2	0.0439	0.0219	711.4610 *
Nutrient -				
Enrichment,C	1	0.0044	0.0044	143.6331 *
AB	6	0.0085	0.0014	45.8474 *
AC	3	0.0227	0.0076	245.3668 *
BC	2	0.0124	0.0062	201.3863 *
ABC	6	0.0129	0.0022	69.9707 *
Error	48	0.0015	0.0000	

* เป็นค่าทาง $F_{0.05}(f_1, f_2)$

1.7 การศึกษาการแพร่กระจายขนาดของเซลล์

จากการศึกษาตัวอย่างที่ดองด้วยน้ำยาฟอร์มาลิน 5 % ที่ระดับความเค็ม 30 % เมื่อเติมสารอาหารตามสูตร T.1 และมีความเข้มข้นของกรดอีวมิกในน้ำยาเลเป็น 1 ในโครงการต่อมิลลิลิตร ซึ่งให้วัตถุการเจริญเฉลี่ยต่อวัน ($K = 0.212 \text{ day}^{-1}$) เปรียบเทียบกับที่ระดับความเค็มเดียวกัน เมื่อเติมสารอาหารตามสูตร T.1 แต่ไม่เติมกรดอีวมิก พบว่า มีลักษณะการแพร่กระจายขนาดของเซลล์คล้ายคลึงกัน คือ ในระยะ log phase เซลล์ที่มีขนาดใหญ่กว่า 30 ไมครอน จะมีอยู่ในปริมาณมาก เมื่อเทียบกับเซลล์ที่มีขนาดระหว่าง 38 - 30 ไมครอน เมื่อเวลาผ่านไปประมาณวันที่ 3 - 4 เซลล์จะมีอัตราการแบ่งเซลล์สูง (log phase) เซลล์ที่มีขนาดเล็กจะมีปริมาณเพิ่มมากขึ้นและเป็นองค์ประกอบที่สำคัญของประชากร เมื่อถึงระยะ stationary phase และเมื่อเซลล์เริ่มลดปริมาณลง ประมาณวันที่ 9 - 10 เซลล์ที่มีขนาดใหญ่กว่า 38 ไมครอน จะมีปริมาณมากขึ้นและเป็นองค์ประกอบที่สำคัญของประชากร ดังแสดงในรูปที่ 22 - 23

1.8 การศึกษาขั้นตอนต่าง ๆ ของการแบ่งเซลล์

จากการศึกษาขั้นตอนการแบ่งเซลล์ที่มีการเจริญต่อสุด พบว่า มีขั้นตอนการแบ่งเซลล์แบบ mitotic cell division ดังนี้

1. ระยะ interphase หรือ interkinesis เป็นระยะที่กินเวลานานที่สุด เพราะมีขั้นตอนการในการจัดล่องตัวของโครโนโซมและเซลล์เตรียมตัวที่จะแบ่งเซลล์ ต่อไป ระยะนี้นิวเคลียลจะมีลักษณะเป็นรูปตัวยู (U-shape) อยู่บริเวณกลางเซลล์โครโนโซมที่อยู่ในนิวเคลียลจะเห็นเป็นเส้นบาง ๆ ดังแสดงในรูปที่ 24 การสังเกตจากเซลล์ที่มีชีวิตอยู่ พบว่า ที่ระยะนี้เซลล์มีการเคลื่อนที่ค่อนข้างเร็วแต่จะช้ากว่าเซลล์ปกติอื่น ๆ ที่ไม่ได้เริ่มแบ่งเซลล์

2. ระยะ prophase เป็นระยะที่นิวเคลียลมีการเปลี่ยนแปลงรูปร่างจาก U-shape เป็นก้อนกลมอยู่ตรงกลางเซลล์ จะสังเกตเห็นโครโนโซมซัดเจนขึ้นเนื่องจากโครโนโซมหลักเข้า การสังเกตเซลล์ที่มีชีวิตอยู่พบว่าที่ระยะนี้เซลล์จะมีการเคลื่อนที่ช้าลงมาก โดยจะเคลื่อนที่เป็นวงกลมในบริเวณเดิม ไม่มีการเคลื่อนที่ไปบริเวณอื่น และที่ระยะ late prophase จะสังเกตพบว่าที่ cell plate บริเวณใกล้ๆ epitheca pole จะมีร้อยชากรูปเล็กน้อย ดังแสดงในรูปที่ 25

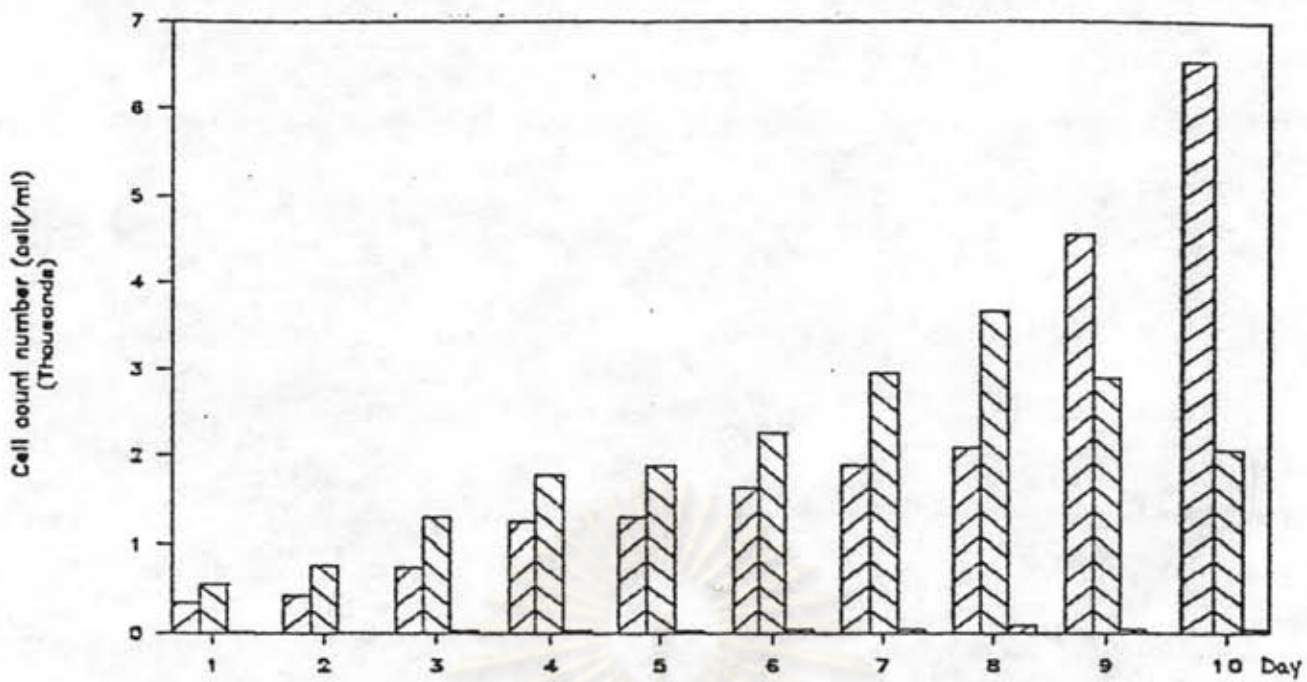
3. ระยะ metaphase เป็นระยะที่โครโนโซมเริ่มตีียงหัวขอที่กากางเซลล์โดยที่แขนของโครโนโซมจะซึ่งเบียดไปทางข้างของเซลล์ ในการทางตรงกันข้าม ที่ระยะนี้เริ่มมีการแบ่ง

cytoplasm จะสังเกตเห็น cell plate มีอยู่มากในแนวเฉียงลักษณะกว่าเดิมมาก การสังเกตเซลล์ที่มีชีวิตอยู่พบว่า ที่ระยะนี้เซลล์เคลื่อนที่น้อยมากจนกระทั้งเลม่อน หยุดนิ่ง

4. ระยะ anaphase เป็นระยะที่โครโนโซมแยกออกจากกันเป็นสองฝ่าย ดังแสดงในรูปที่ 26-27 การสังเกตเซลล์ที่มีชีวิตอยู่พบว่าที่ระยะนี้ cell plate บริเวณกลางเซลล์จะคดเข้ามาหากันเป็น 2 เซลล์ชั้นๆ แต่ cell plate ยังไม่แบ่งออกมาโดยสมบูรณ์ และเซลล์เริ่มมีการเคลื่อนไหวมากขึ้นอยู่นึงกับที่

5. ระยะ telophase เริ่มเมื่อโครโนโซม 2 กลุ่ม ที่เคลื่อนที่ออกจากกันในระยะ anaphase ต่างมาจับกลุ่มกันอยู่เป็นก้อนกลุ่มที่ข้างของ spindle fibre ดังแสดงในรูปที่ 28-29 จากนั้นโครโนโซมจะคลายตัวออกและยืดยาวออกไป ขณะเดียวกัน cell plate จะเห็นชั้นเรือน แล้วแบ่งโปรตอพลาสตินออกเป็นสองฝ่าย นิวเคลียสเปลี่ยนแปลงรูปร่างเป็น U-shape และในที่สุดก็จะได้เซลล์ใหม่ 2 เซลล์ เนื่องจากมีการแบ่งเซลล์ดังได้กล่าวมาแล้ว ซึ่งเรียกว่า cell cycle การสังเกตเซลล์ที่มีชีวิตอยู่พบว่า ที่ระยะนี้เมื่อมีการแบ่งเซลล์เสร็จแล้วเซลล์ยังคงติดกันอยู่ และแต่ละเซลล์จะมีการแบ่งเซลล์ใหม่ต่อ กันเป็นสายยาวจาก 2 เป็น 4 เป็น 8 เป็น 16 และมากที่สุดที่สังเกตพบในการศึกษาครั้งนี้ คือ 32 เซลล์ ในหนึ่งสายเซลล์ที่ต่อ กันเป็นสายยาวนี้อาจขาดออกจากกันได้แต่ก็จะมีการแบ่งเซลล์ต่อเป็นสายยาวใหม่ได้อีก แต่ในการนี้จากการสังเกตพบว่าเซลล์ในสายที่ขาดออกจากกันจะมีการแบ่งเซลล์ในสายใหม่พร้อมกัน อาจมีการแบ่งเซลล์เฉพาะตอนกลางหรือที่ปลายของสายเซลล์ที่ต่อ กันนั้นก็ได้

คุณวิทยาพรพยาร
จุฬาลงกรณ์มหาวิทยาลัย

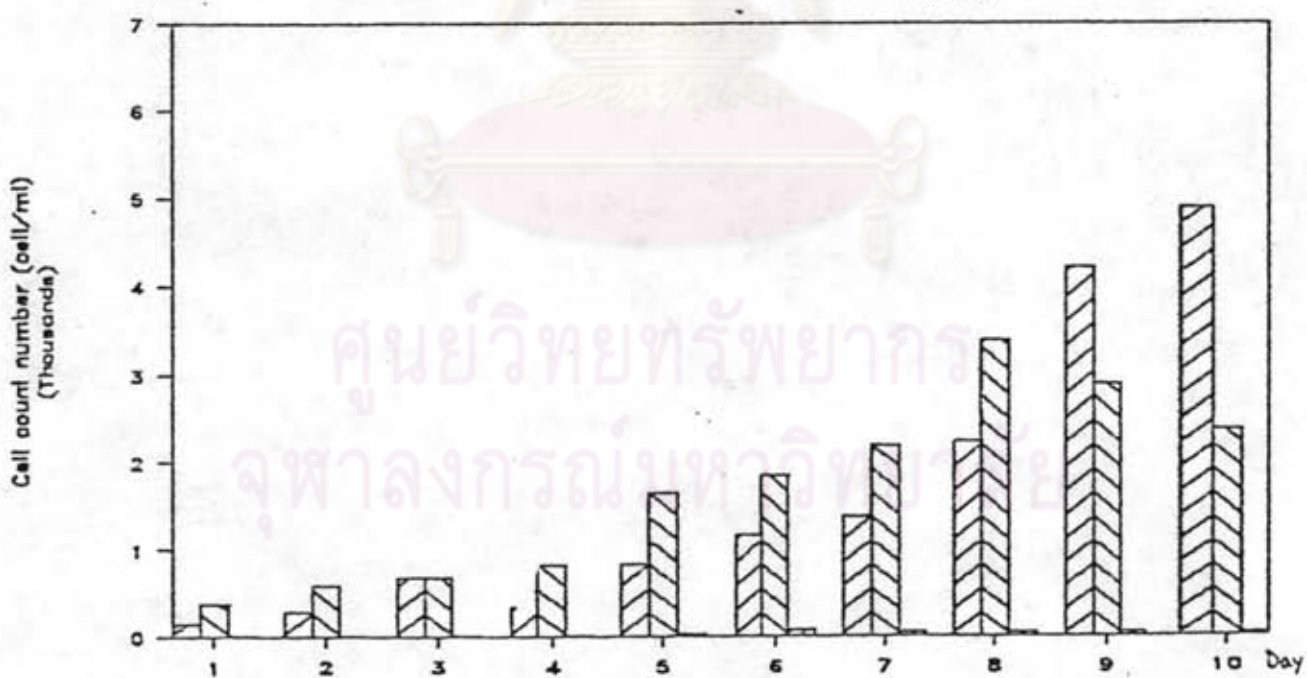


รูปที่ 22. การแพร่กระจายของเซลล์ *P. cohorticula* ที่ระดับความเค็ม 30 %.
เมื่อได้รับอิทธิพลของสารอาหาร

◻ ใหญ่กว่า 38 ไมครอน

◻ 20 - 38 ไมครอน

▨ เล็กกว่า 20 ไมครอน

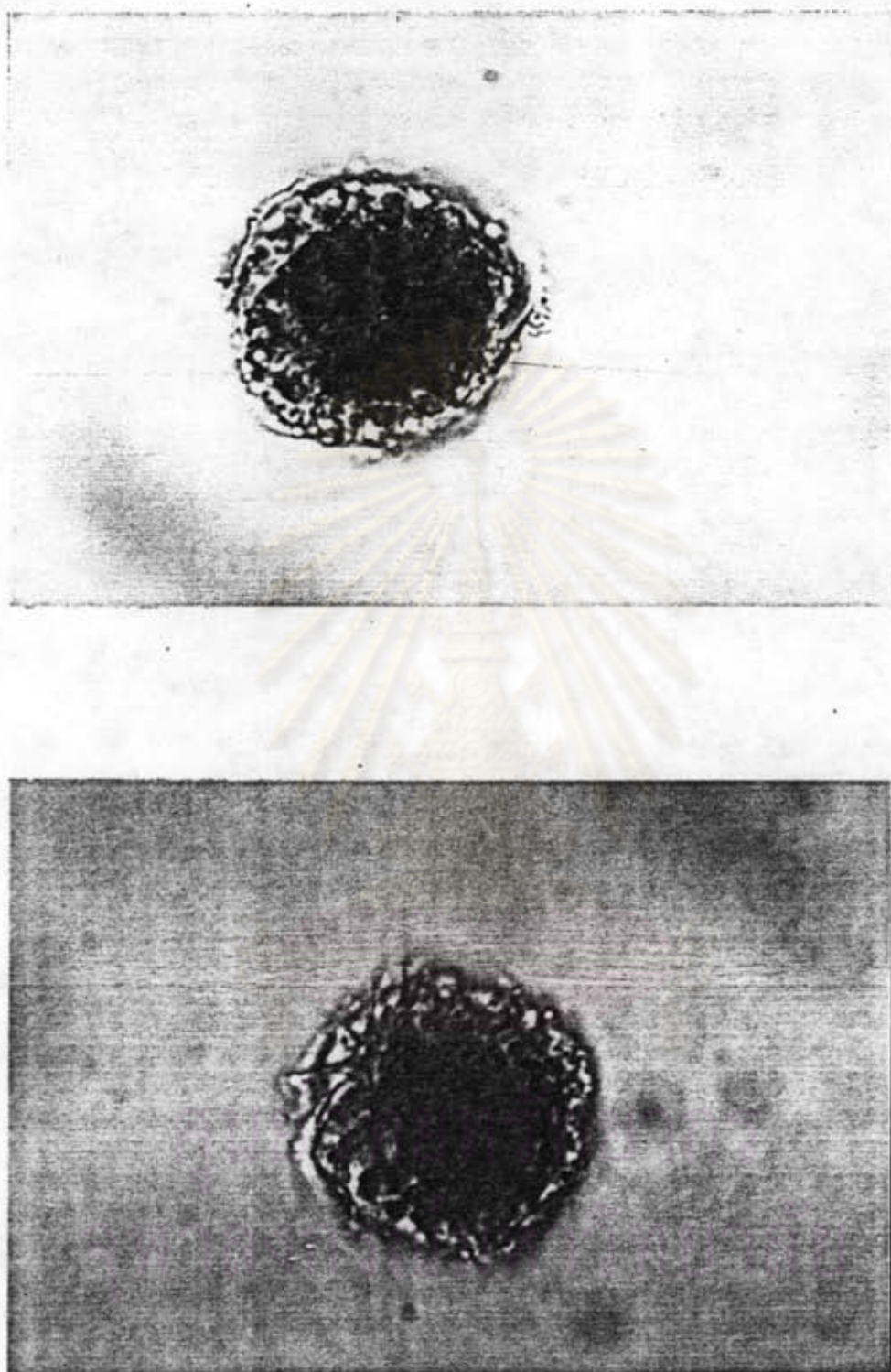


รูปที่ 23. การแพร่กระจายของเซลล์ *P. cohorticula* ที่ระดับความเค็ม 30 %. เมื่อได้รับอิทธิพลของสารอาหารและความเร็วขันของการถ่ายมิกгонในน้ำทะเลที่ระดับ 1 ไมโครกรัมต่อมิลลิลิตร

◻ ใหญ่กว่า 38 ไมครอน

◻ 20 - 38 ไมครอน

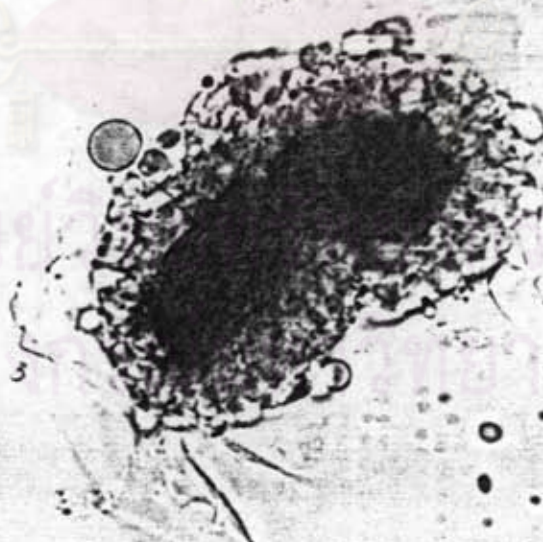
▨ เล็กกว่า 20 ไมครอน



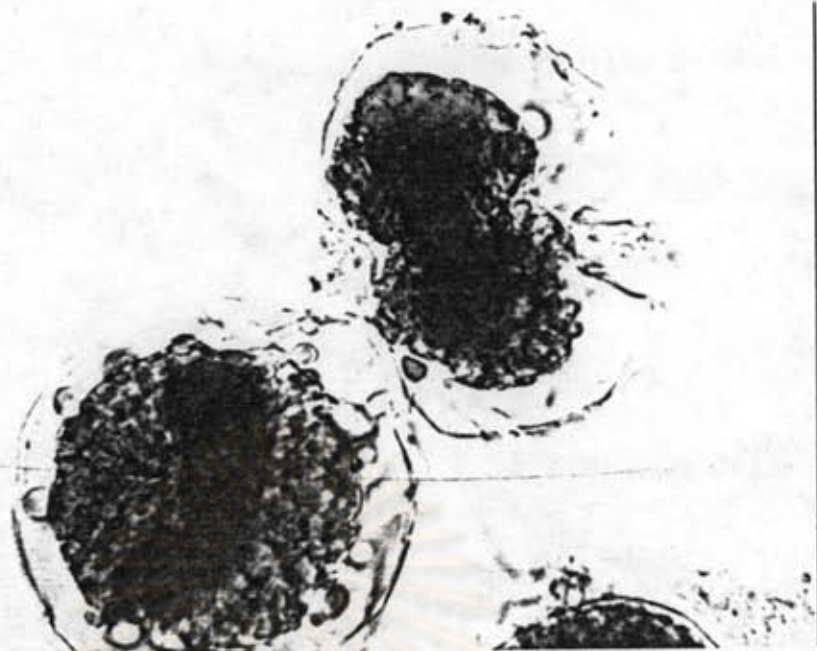
รูปที่ 24. การแบ่งเซลล์ระยะ interphase ของ P. cohorticula ($\times 1,000$ เท่า)



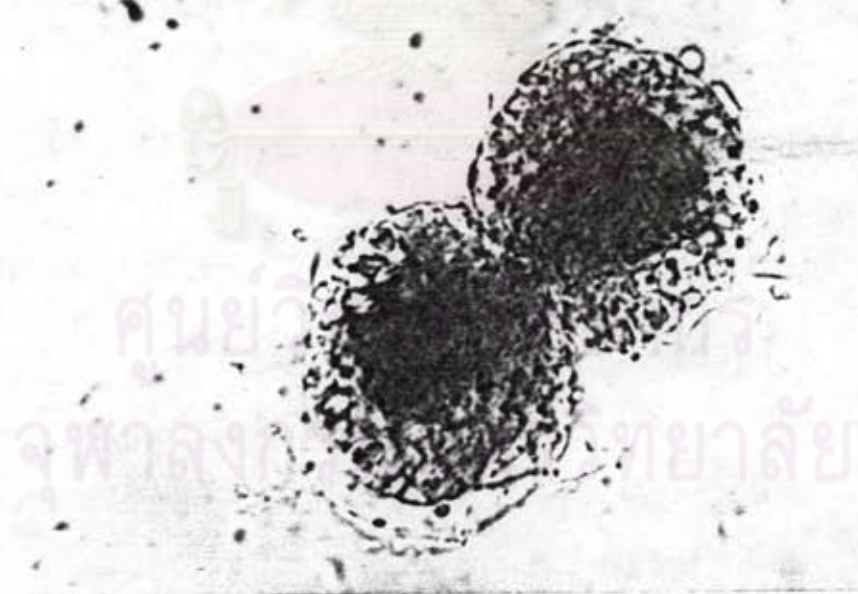
รูปที่ 25. การแบ่งเซลล์ระยะ late prophase ของ P. cohorticula
($\times 1,000$ เท่า)



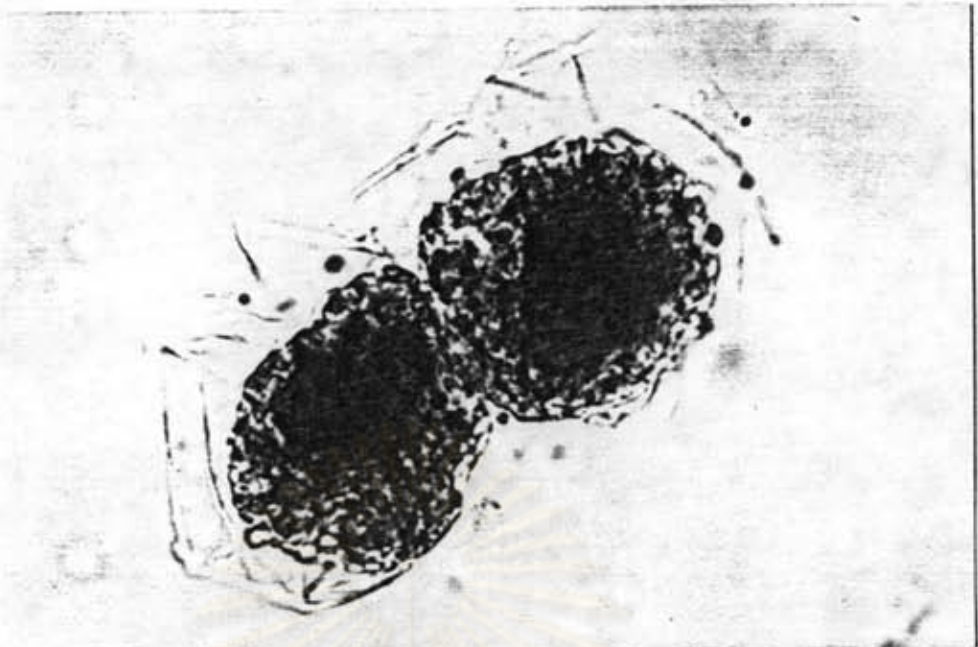
รูปที่ 26. การแบ่งเซลล์ระยะ early anaphase ของ P. cohorticula



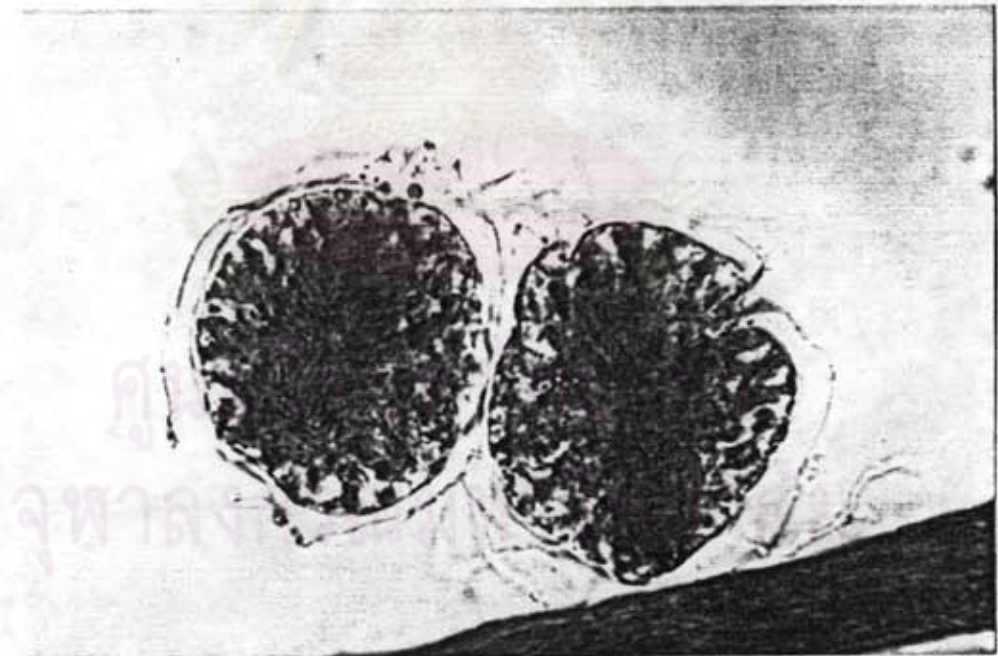
รูปที่ 27. การแบ่งเซลล์ระยะ late anaphase ของ P. cohorticula
 $(\times 1,000 \text{ เท่า})$



รูปที่ 28. การแบ่งเซลล์ระยะ early telophase ของ P. cohorticula
 $(\times 1,000 \text{ เท่า})$



รูปที่ 29. การแบ่งเซลล์ระยะ late telophase ของ *P. cohorticula*
($\times 1,000$ เท่า)



รูปที่ 30. เซลล์แบ่งตัวเสร็จโดยสมบูรณ์ ได้เซลล์ใหม่สองเซลล์

2. ผลการทดลองของ *P. tamarensis*

2.1 ความสัมพันธ์ระหว่าง fluorescence number และ cell number

ความสัมพันธ์ของค่า fluorescence number ที่อ่านได้จากวัดการเจริญของเซลล์ และค่าของ cell count number ที่นับได้หลังจากวัดการเจริญด้วยเครื่อง fluorometer แล้ว พบว่าทั้งสองค่ามีความสัมพันธ์กันแบบเส้นตรง ดังแสดงใน รูปที่ 31

จากความสัมพันธ์นี้นำไปใช้ในการคำนวณหาอัตราการเจริญของเซลล์ในการทดลองต่อไป

2.2. ผลการทดลองหาช่วงระดับความเค็มที่เหมาะสมกับการเจริญ

ในการทดลองหาช่วงความเค็มที่เหมาะสมต่อการเจริญของ *P. tamarensis* โดยใช้น้ำทะเลเทียม (ASP) เมื่อเพิ่มสารอาหารตามสูตร T. 1 ที่ระดับความเค็มต่าง ๆ คือ 20, 25, 30, 35 และ 40 %. พบว่า *P. tamarensis* มีอัตราการเจริญเฉลี่ย (K) ตอบสนองต่อระดับความเค็มต่ำสุดอยู่ในช่วง 20 - 30 %. โดยที่ระดับความเค็ม 30 % ให้อัตราการเจริญเฉลี่ยติดกันสุด ดังแสดงในตารางที่ 11 และรูปที่ 32 - 33 จึงเลือกใช้ระดับความเค็ม 30 %. ใน การทดลองหาช่วงระดับความเข้มข้นของกรดวิมิกที่เหมาะสมต่อการเจริญต่อไปในการทดลองข้อ 2.3

2.3 ผลการทดลองหาช่วงระดับความเข้มข้นของกรดวิมิกที่เหมาะสมต่อการเจริญ

จากการทดลองโดยใช้น้ำทะเลเทียม (ASP) ที่ระดับความเข้มข้นของกรดวิมิก (HA) เป็น 1, 2, 5, 10, 20 และ 30 ในโครงรัมต่อมมิลลิลิตร ที่ระดับความเค็ม 30 %. ($ASP + T.1$) พบว่า *P. tamarensis* มีอัตราการเจริญเฉลี่ยตอบสนองต่อระดับความเข้มข้นของกรดวิมิกต่ำสุดอยู่ในช่วง 1 - 5 ในโครงรัมต่อมมิลลิลิตร ดังแสดงในตารางที่ 12 และ รูปที่ 34 ดังนั้นจึงใช้ระดับความเข้มข้นของกรดวิมิกในช่วงดังกล่าวในการทดลองผลต่อการเจริญร่วมกับความเค็มที่ระดับ 20, 25 และ 30 %.

2.4 ผลของความเค็มต่อการเจริญ

ที่ระดับความเข้มข้นของกรดวิมิกในน้ำทะเลเทียมเป็นคุณย์ (HAO)

2.4.1 เมื่อไม่เพิ่มสารอาหาร (ASP) *P. tamarensis* มีการเจริญตอบสนองต่อระดับความเค็มต่ำกว่าที่ระดับความเค็มสูง โดยที่ระดับความเค็มต่ำ (20 %.)

ให้อัตราการเจริญเฉลี่ยต่ำสุด ดังแสดงในตารางที่ 13 และรูปที่ 35 - 36

2.4.2 เมื่อเติมสารอาหาร (ASP + T.1) *P. tamarensis* มีอัตราการเจริญเฉลี่ยตอบสนองต่อระดับความเค็มสูง ได้ถึงกว่าที่ระดับความเค็มต่ำ โดยที่ระดับความเค็ม 30 %. ให้อัตราการเจริญต่ำสุด ดังแสดงในตารางที่ 13 และรูปที่ 37 - 38

2.5 ผลของความเค็มและกรดอิวมิกต่อการเจริญ

2.5.1 เมื่อไม่เติมสารอาหารที่ระดับความเข้มข้นของกรดอิวมิกในน้ำทะเลเทียมเป็น 1, 2 และ 5 ในโครงการที่มิลลิลิตร (ASP + HA1, ASP + HA2 และ ASP + HA5)

ที่ระดับความเค็ม 20, 25 และ 30 %. ที่ทุกระดับความเข้มข้นของกรดอิวมิก พบว่า *P. tamarensis* มีอัตราการเจริญเฉลี่ยที่ระดับความเข้มข้นของกรดอิวมิกต่ำ ได้ถึงกว่าที่ระดับสูง โดยที่ระดับความเข้มข้นของกรดอิวมิกในน้ำทะเลเทียมเป็น 1 ในโครงการที่มิลลิลิตร ให้อัตราการเจริญเฉลี่ยต่ำสุด ดังแสดงในตารางที่ 14 และรูปที่ 39 - 42

2.5.2 เมื่อเติมสารอาหาร ที่ระดับความเข้มข้นของกรดอิวมิกในน้ำทะเลเทียมเป็น 1, 2 และ 5 ในโครงการที่มิลลิลิตร (ASP + HA1, ASP + HA2 และ ASP + HA5)

ที่ระดับความเค็ม 20, 25 และ 30 %. และมีระดับความเข้มข้นของกรดอิวมิกในน้ำทะเลเทียมมิค่า 1 ในโครงการที่มิลลิลิตร ระดับความเค็ม 30 %. จะให้อัตราการเจริญเฉลี่ยต่ำสุด ดังแสดงในตารางที่ 19 และรูปที่ 46

ที่ระดับความเข้มข้นของกรดอิวมิกในน้ำทะเลเทียมมิค่า 2 ในโครงการที่มิลลิลิตร ของระดับความเค็ม 20, 25 และ 30 %. พบว่าที่ระดับความเค็ม 25 %. จะให้อัตราการเจริญเฉลี่ยต่ำสุด ดังแสดงในตารางที่ 16 และรูปที่ 46

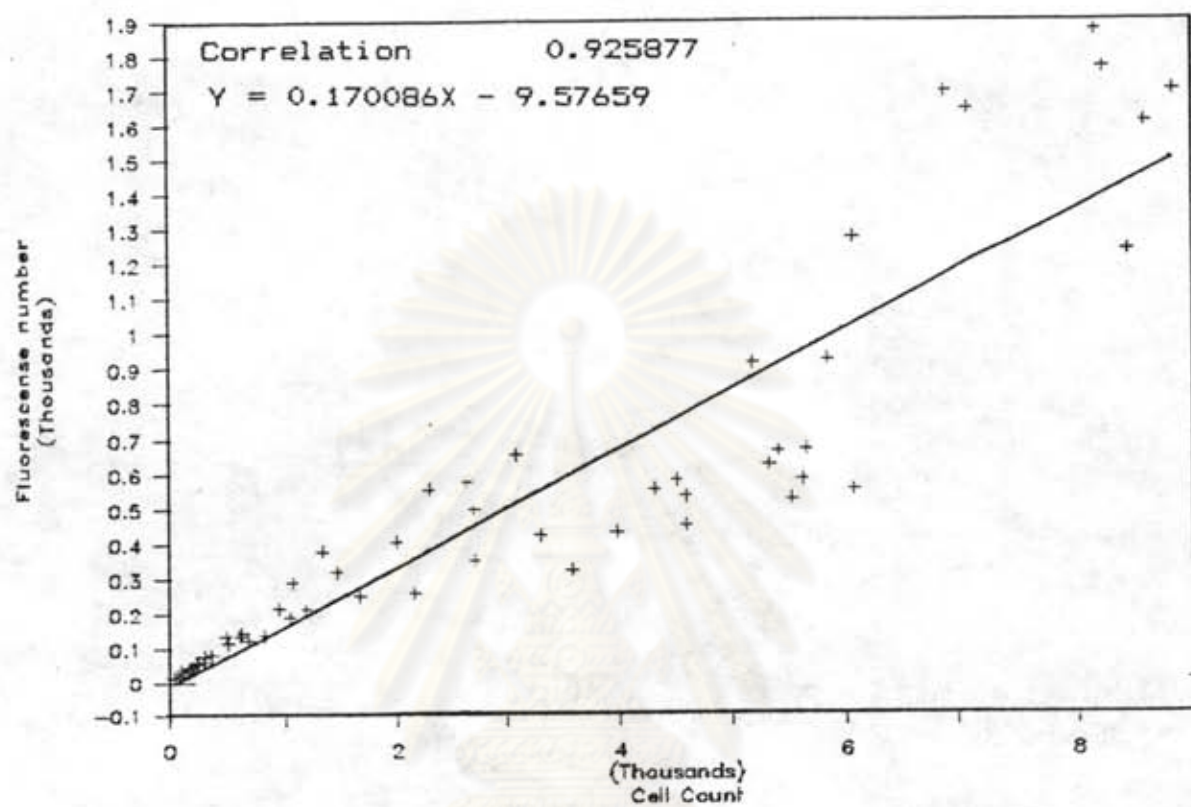
ที่ระดับความเข้มข้นของกรดอิวมิกในน้ำทะเลเทียมเป็น 5 ในโครงการที่มิลลิลิตร ของระดับความเค็ม 20, 25 และ 30 %. พบว่าที่ระดับความเค็ม 20 %. จะให้อัตราการเจริญเฉลี่ยต่ำสุด ดังแสดงในตารางที่ 17 และรูปที่ 46

2.6 การวิเคราะห์ทางสถิติ จากการวิเคราะห์ทางสถิติพบว่า (ตารางที่ 18 - 19)

- ที่ความเค็มระดับต่าง ๆ อัตราการเจริญของ *P. tamarensis* จะมีความแตกต่างกันอย่างมีนัยสำคัญทางสถิติ

2. อัตราการเจริญของ P. tamarensis ที่ความเข้มข้นของกรดอีวามิกระดับต่าง ๆ มีความแตกต่างกันอย่างมีนัยสำคัญทางสถิติ
3. P. tamarensis มีอัตราการเจริญตอบสนองต่อความเข้มข้นของสารอาหารต่างกันอย่างมีนัยสำคัญทางสถิติ
4. อิทธิพลร่วมระหว่างกรดอีวามิกและความเค็ม ให้ผลต่อการเจริญของ P. tamarensis แตกต่างกันอย่างมีนัยสำคัญทางสถิติ
5. อิทธิพลร่วมระหว่างความเค็มและสารอาหาร ให้ผลต่อการเจริญของ P. tamarensis แตกต่างกันอย่างมีนัยสำคัญทางสถิติ
6. อิทธิพลร่วมระหว่างกรดอีวามิกและสารอาหาร ให้ผลต่อการเจริญของ P. tamarensis แตกต่างกันอย่างมีนัยสำคัญทางสถิติ
7. อิทธิพลร่วมของความเค็ม กรดอีวามิก และสารอาหาร ให้ผลต่อการเจริญของ P. tamarensis ไม่แตกต่างกันอย่างมีนัยสำคัญทางสถิติ

ศูนย์วิทยทรัพยากร
จุฬาลงกรณ์มหาวิทยาลัย



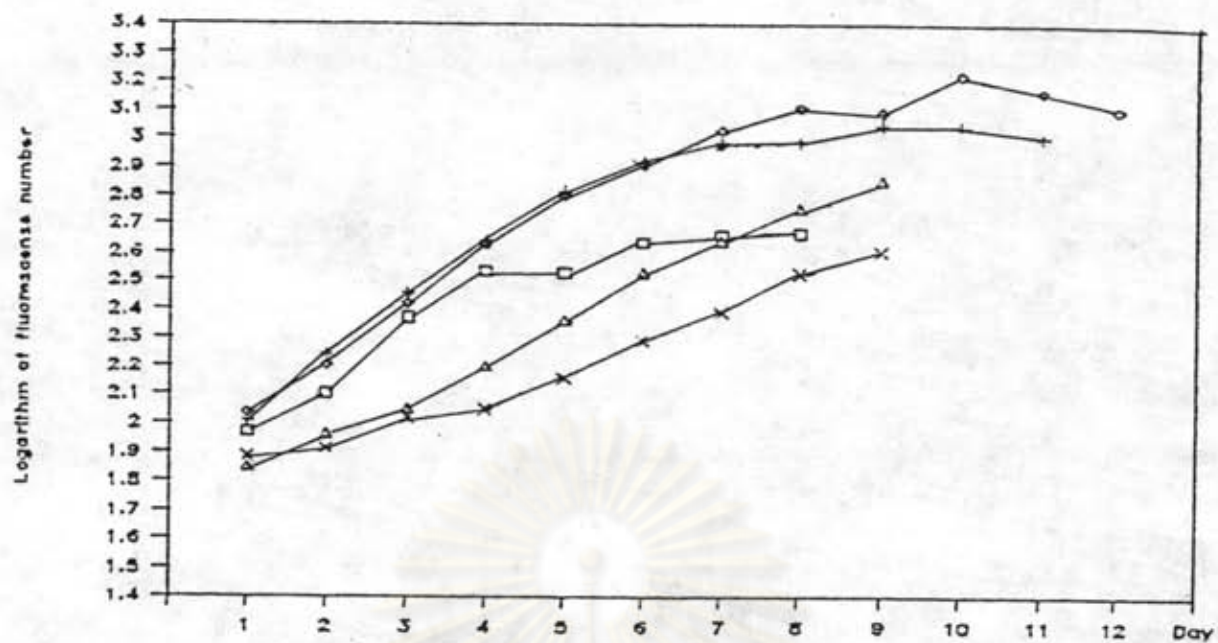
ภาพที่ 31. ความสัมพันธ์ระหว่างค่าของ fluorescence number กับค่าของจำนวนเซลล์
P. tamarensis

ตารางที่ 11. อัตราการเจริญเติบโตและเวลาที่ใช้ในการเพิ่มประชากรเป็นสองเท่าของ
P. tamarensis ที่ระดับความเค็มต่าง ๆ

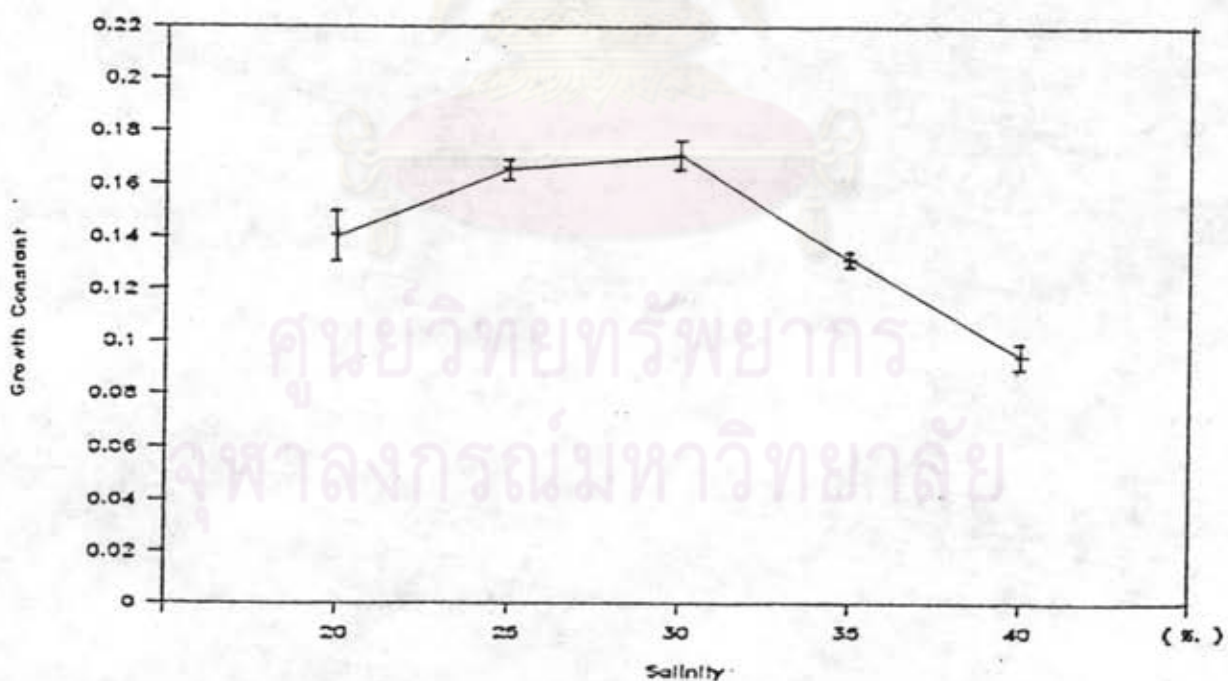
Salinity (%)	Growth Constant $K_{10} \pm SD(\text{day}^{-1})$	Doubling Time D.T. (hrs.)
20	0.141±0.011	51.0
25	0.166±0.002	45.5
30	0.171±0.005	42.2
35	0.132±0.001	54.7
40	0.095±0.033	76.0

ตารางที่ 12. อัตราการเจริญเติบโตและเวลาที่ใช้ในการเพิ่มประชากรเป็นสองเท่าของ
P. tamarensis ที่ระดับความเค็ม 30 %.

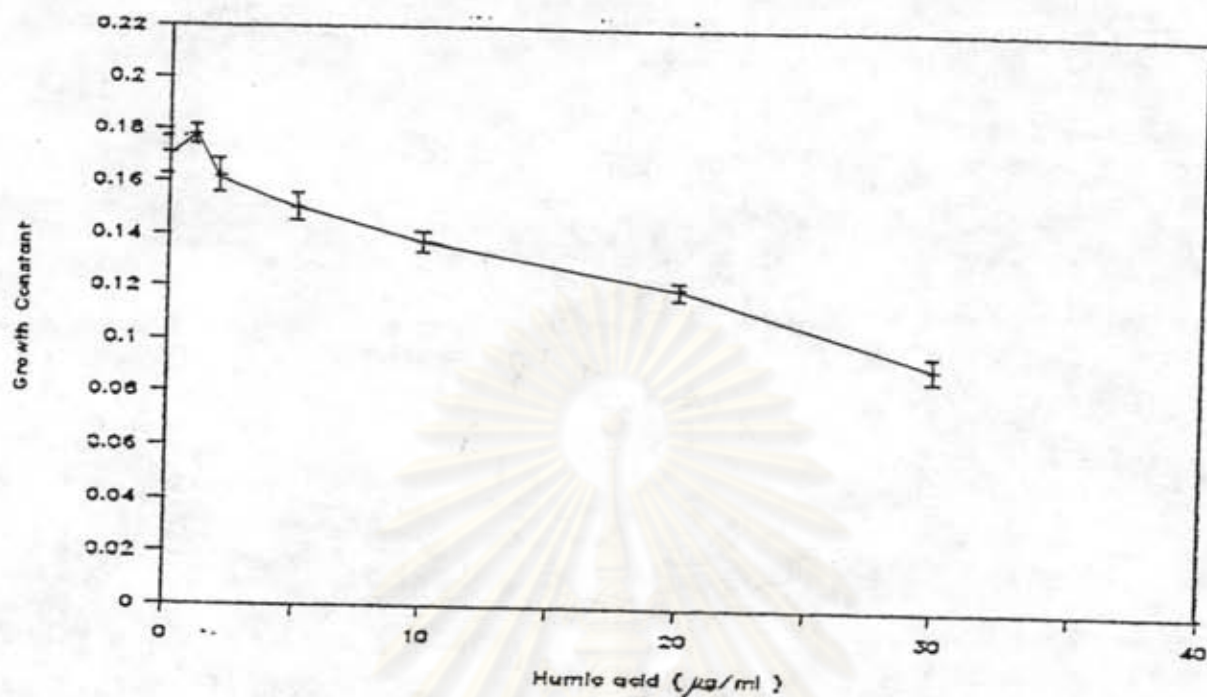
30 % +Humic acids ($\mu\text{g/ml}$)	Growth Constant $K_{10} \pm SD(\text{day}^{-1})$	Doubling Time D.T. (hrs.)
0	0.171±0.005	42.2
1	0.178±0.001	40.6
2	0.162±0.006	44.6
5	0.150±0.003	48.2
10	0.138±0.002	52.3
20	0.121±0.001	59.7
30	0.092±0.004	78.5



รูปที่ 32. กราฟการเจริญของ *P. tamarensis* ที่ระดับความเค็ม 20‰ (□),
25‰ (+), 30‰ (◊), 35‰ (△) และ 40‰ (×)



รูปที่ 33. อัตราการเจริญเฉลี่ยของ *P. tamarensis* ที่ต่างระดับความเค็ม



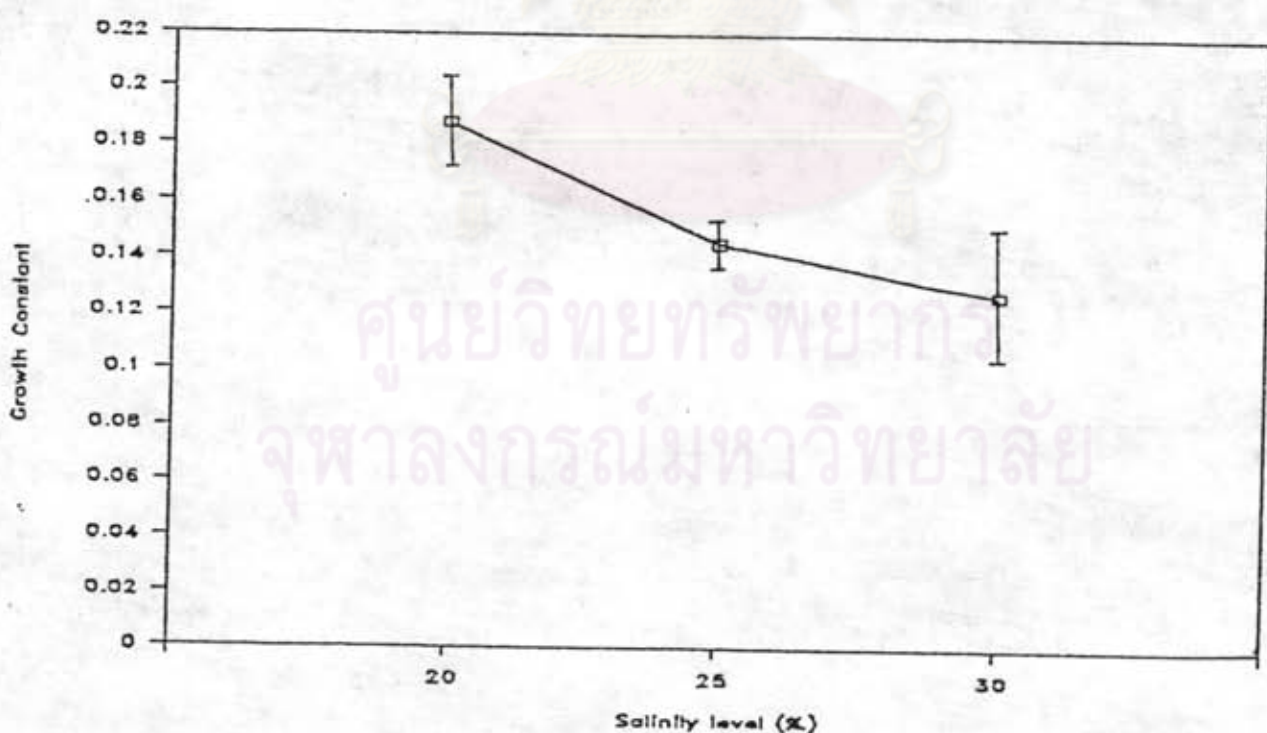
รูปที่ 34. อัตราการเจริญเติบโตของ *P. tamarensis* ที่ต่างระดับความเข้มข้นของกรดอินทรีในน้ำทะเล

ตารางที่ 13. เปรียบเทียบอัตราการเจริญเติบโตและเวลาที่ใช้ในการเพิ่มประมาณการเบื้องต้นของสาหร่าย *P. tamarensis* ที่ระดับความเค็มต่างๆ เมื่อได้รับ อินซูลินของความเค็ม อิทธิพลของความเค็ม (ASP) และ เมื่อได้รับอินซูลินร่วมของความเค็ม และสารอาหาร (ASP + T.2)

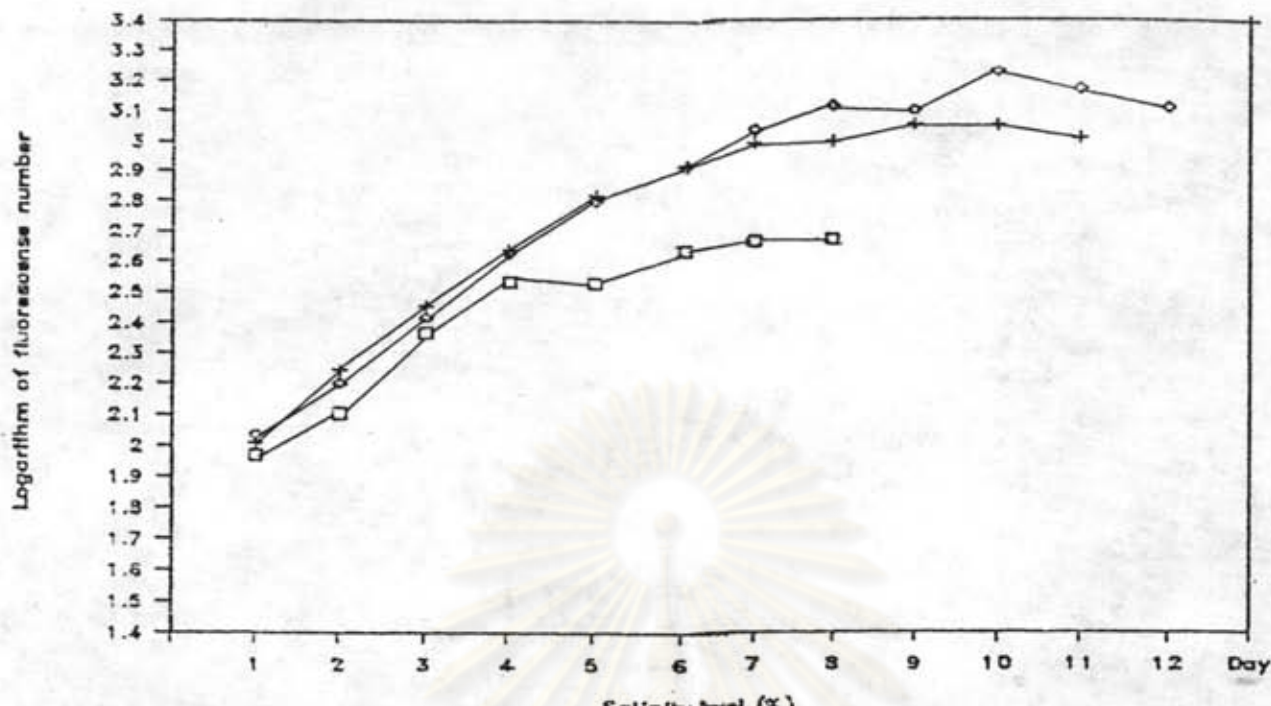
Humic acids 0 $\mu\text{g}/\text{ml}$	<i>P. tamarensis</i>					
	ASP	ASP+T1	Growth Constant $K \pm SD(\text{day}^{-1})$	Doubling Time D.T. (hrs.)	Growth Constant $K \pm SD(\text{day}^{-1})$	Doubling Time D.T. (hrs.)
20	0.108±0.022	38.4	0.141±0.011	51.2		
25	0.145±0.009	49.8	0.166±0.002	43.5		
30	0.127±0.030	56.9	0.171±0.005	42.2		



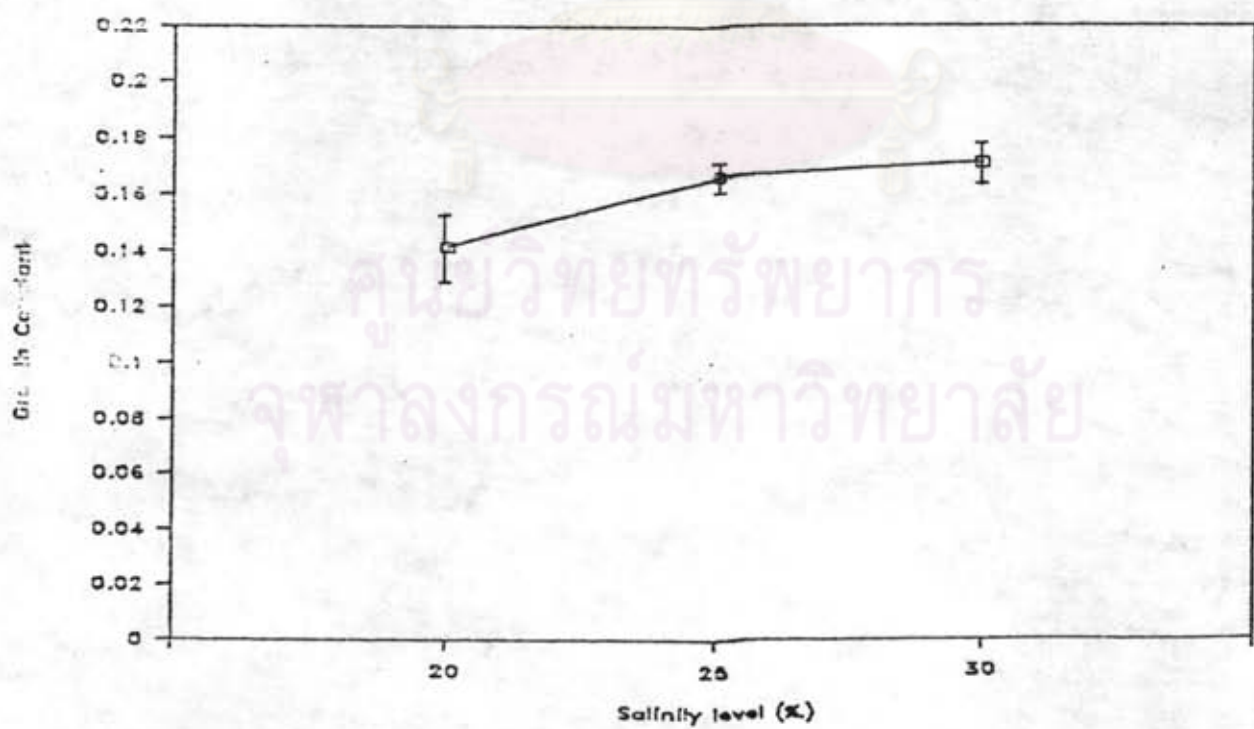
รูปที่ 35. กราฟการเจริญของ P. tamarensis เมื่อได้รับอิทธิพลของความเค็มที่
ระดับ 20 % (□), 25 % (+) และ 30 % (○)



รูปที่ 36. อัตราการเจริญเนื้อเยื่าของ P. tamarensis เมื่อได้รับอิทธิพลของความ
เค็มที่ระดับต่าง ๆ



รูปที่ 37. กราฟการเจริญของ *P. tamarensis* เมื่อได้รับอิทธิพลร่วมของความเค็ม และสารอาหาร ที่ระดับความเค็ม 20 % (□), 25 % (+) และ 30 % (◇)



รูปที่ 38. อัตราการเจริญเฉลี่ยของ *P. tamarensis* เมื่อได้รับอิทธิพลของสารอาหาร ที่ระดับความเค็มต่าง ๆ

ตารางที่ 14. อัตราการเจริญเติบโตของ P. tamarensis ที่ระดับความเค็มต่าง ๆ และต่างระดับความเข้มข้นของกรดไฮมิกในน้ำทะเล

A. ที่ระดับความเค็ม 20 %.

Humic acids concentration ($\mu\text{g/ml}$)	ASP	
	Growth Constant $K \pm SD(\text{day}^{-1})$	Doubling Time D.T.(hrs.)
0	0.188 \pm 0.022	38.4
1	0.215 \pm 0.024	33.6
2	0.186 \pm 0.007	38.8
5	0.170 \pm 0.033	42.5

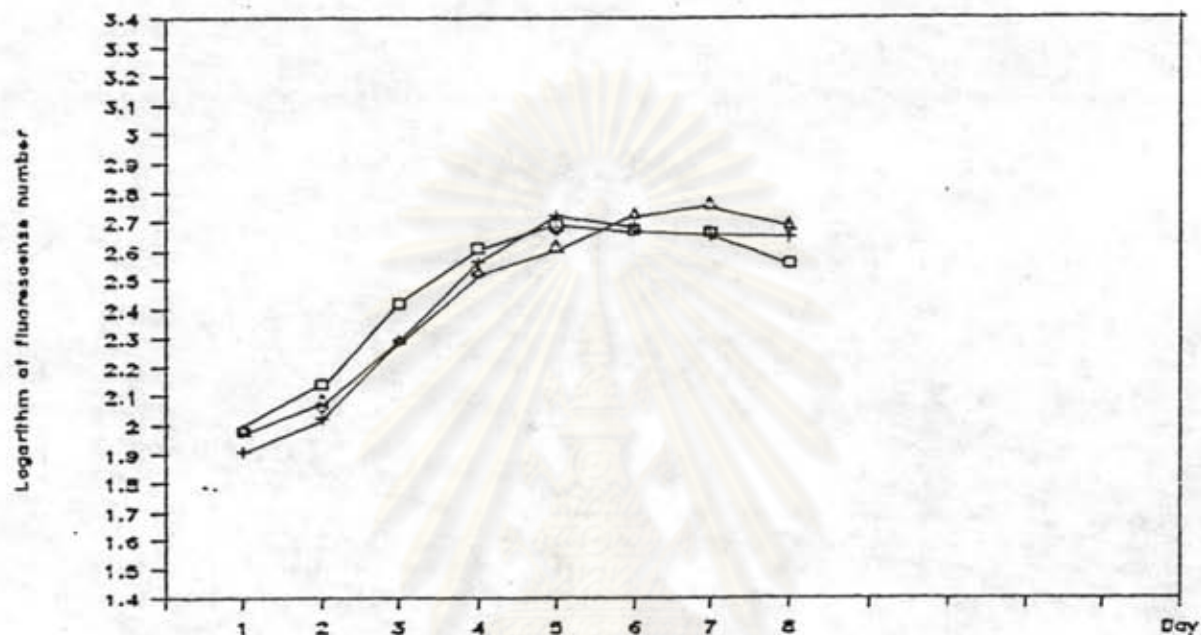
B. ที่ระดับความเค็ม 25 %.

Humic acids concentration ($\mu\text{g/ml}$)	ASP	
	Growth Constant $K \pm SD(\text{day}^{-1})$	Doubling Time D.T.(hrs.)
0	0.145 \pm 0.009	49.8
1	0.159 \pm 0.001	45.4
2	0.134 \pm 0.015	53.9
5	0.102 \pm 0.004	70.8

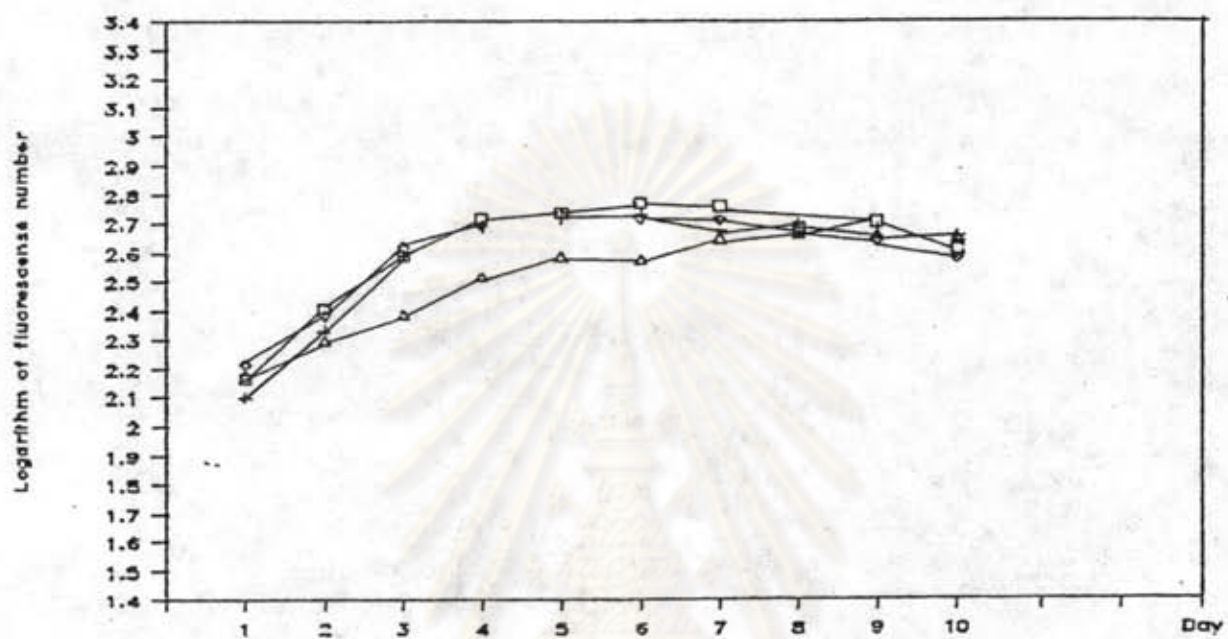
C. ที่ระดับความเค็ม 30 %.

Humic acids concentration ($\mu\text{g/ml}$)	ASP	
	Growth Constant $K \pm SD(\text{day}^{-1})$	Doubling Time D.T.(hrs.)
0	0.127 \pm 0.030	56.9
1	0.137 \pm 0.020	52.7
2	0.081 \pm 0.036	89.2
5	0.138 \pm 0.015	52.3

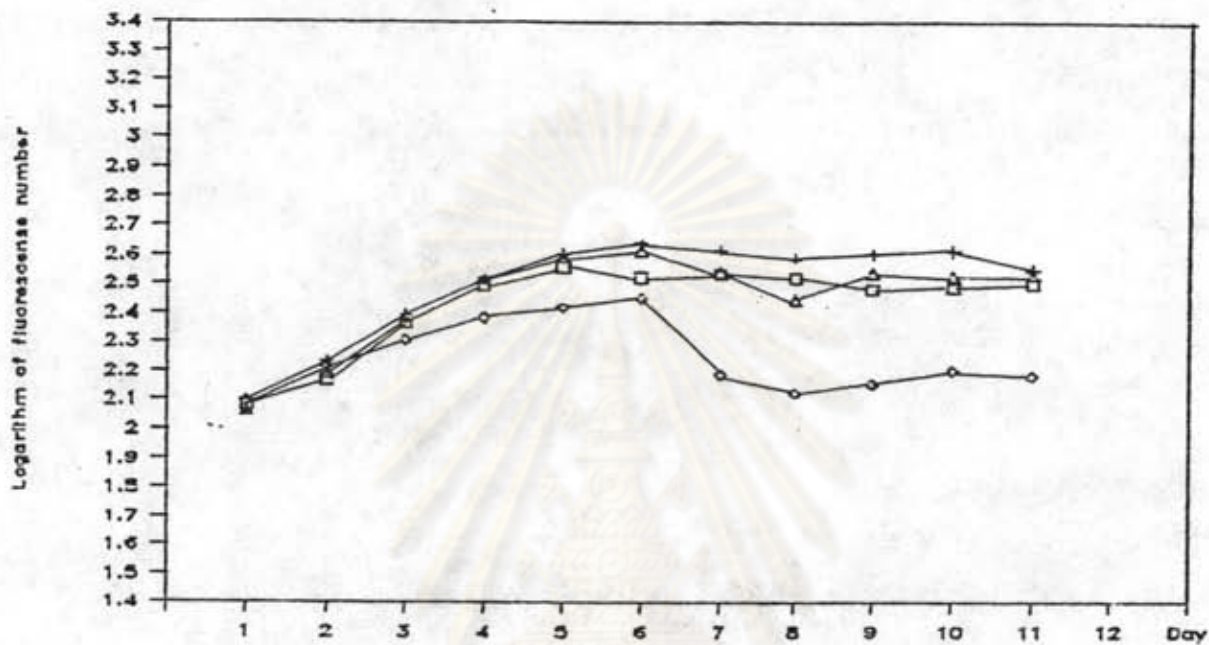




รูปที่ 39. กรณีการเจริญของ *P. tamarensis* เมื่อได้รับอิทธิพลร่วมความเค็ม
ที่ระดับ 20 ‰ และความเร็วขั้นของกรดอิมิกในน้ำทะเลที่ระดับ
0 (□), 1 (+), 2 (○) และ 5 (△) ในโครงรัม
ต่อมลิลลิค

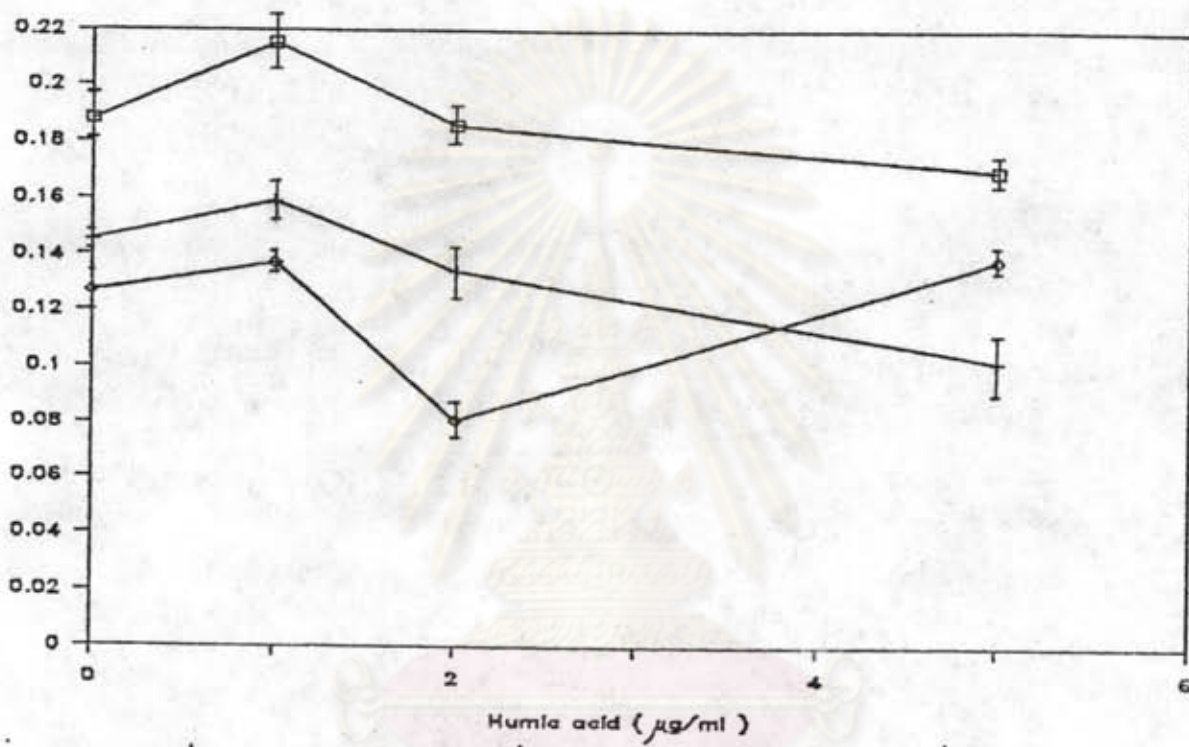


รูปที่ 40. กราฟการเจริญของ *P. tamarensis* เมื่อได้รับอัตราพลร่วมของความเค็ม ที่ระดับ 25 % และ ความเข้มข้นของกรดอีวามิกในน้ำทะเลที่ระดับ 0 (□), 1 (+), 2 (◊) และ 5 (△) ในโครงการพัฒนาลักษณะครุภัณฑ์ทางเดินหายใจที่ต้านทานโรคในเด็ก



รูปที่ 41. กราฟการเจริญของ *P. tamarensis* เมื่อได้รับอิกซิพลร่วมและความ
เค็ม ที่ระดับ 20 ‰ และความเข้มข้นของกรดอีวามิกในน้ำทะเลที่ระดับ
0 (□), 1 (+), 2 (◇) และ 5 (△) ในโครงการ
ต่อมิลลิลิตร

Growth Constant



รูปที่ 42. อัตราการเจริญเติบโตของ *P. tamarensis* เมื่อได้รับอินทริพลร่วม
ของกรดไฮมิกก์ต่างระดับความเข้มข้น ที่ระดับความเค็ม 20 % (□),
25 % (+) และ 30 % (◊)

ตารางที่ 15. อัตราการเจริญเติบโตของ P. tamarensis ที่ระดับความเค็มต่างๆ และต่างระดับความเข้มข้นของกรดอีวามิกในน้ำทะเลเมื่อได้รับอิทธิพลของสารอาหาร

70

A. ที่ระดับความเค็ม 20 %.

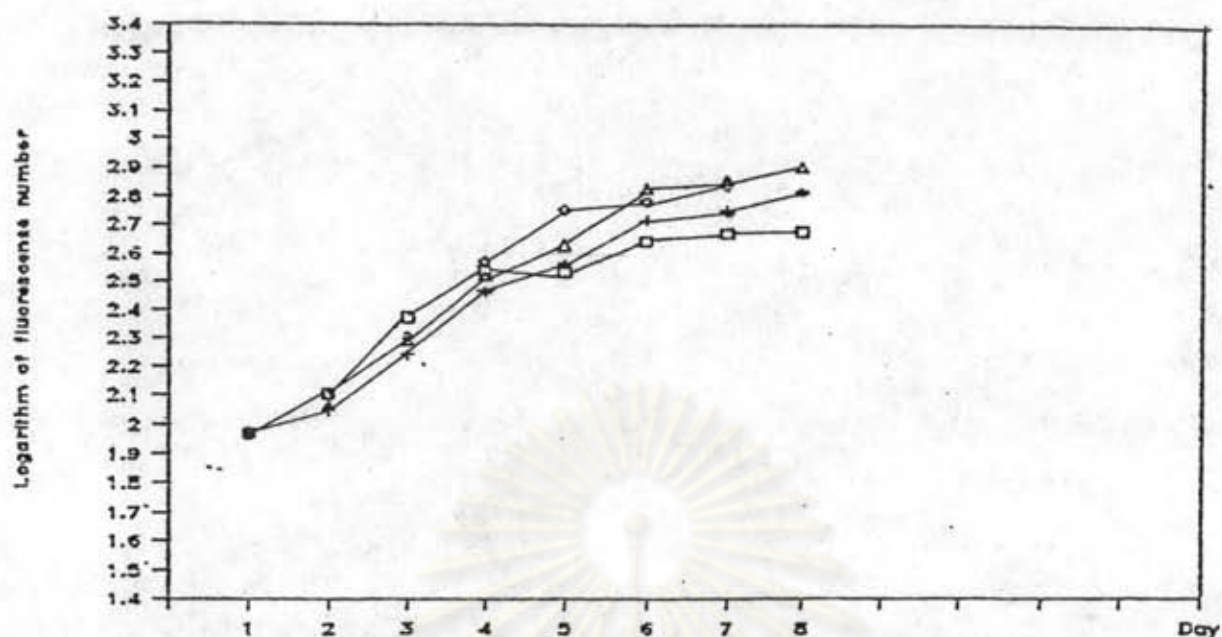
Humic acids concentration ($\mu\text{g/ml}$)	ASP+TI	
	Growth Constant $K \pm SD(\text{day}^{-1})$	Doubling Time D.T.(hrs.)
0	0.141 \pm 0.011	51.2
1	0.158 \pm 0.014	45.7
2	0.180 \pm 0.004	40.1
5	0.176 \pm 0.003	41.0

B. ที่ระดับความเค็ม 25 %.

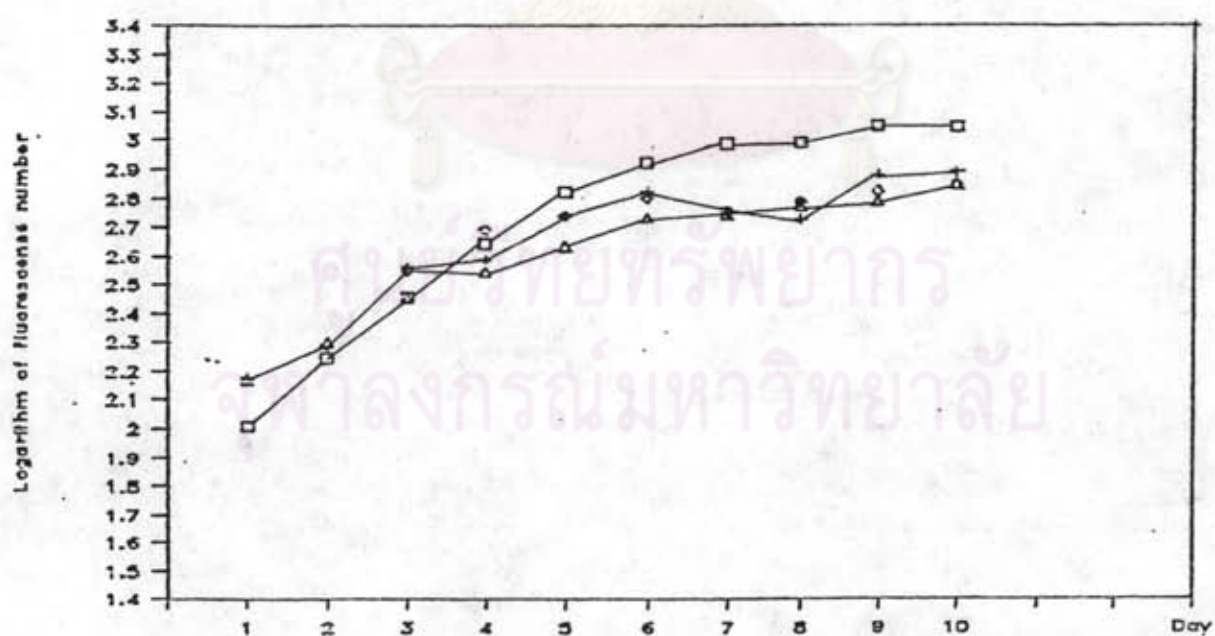
Humic acids concentration ($\mu\text{g/ml}$)	ASP+TI	
	Growth Constant $K \pm SD(\text{day}^{-1})$	Doubling Time D.T.(hrs.)
0	0.166 \pm 0.002	43.5
1	0.152 \pm 0.007	47.5
2	0.162 \pm 0.014	39.7
5	0.128 \pm 0.017	56.4

C. ที่ระดับความเค็ม 30 %.

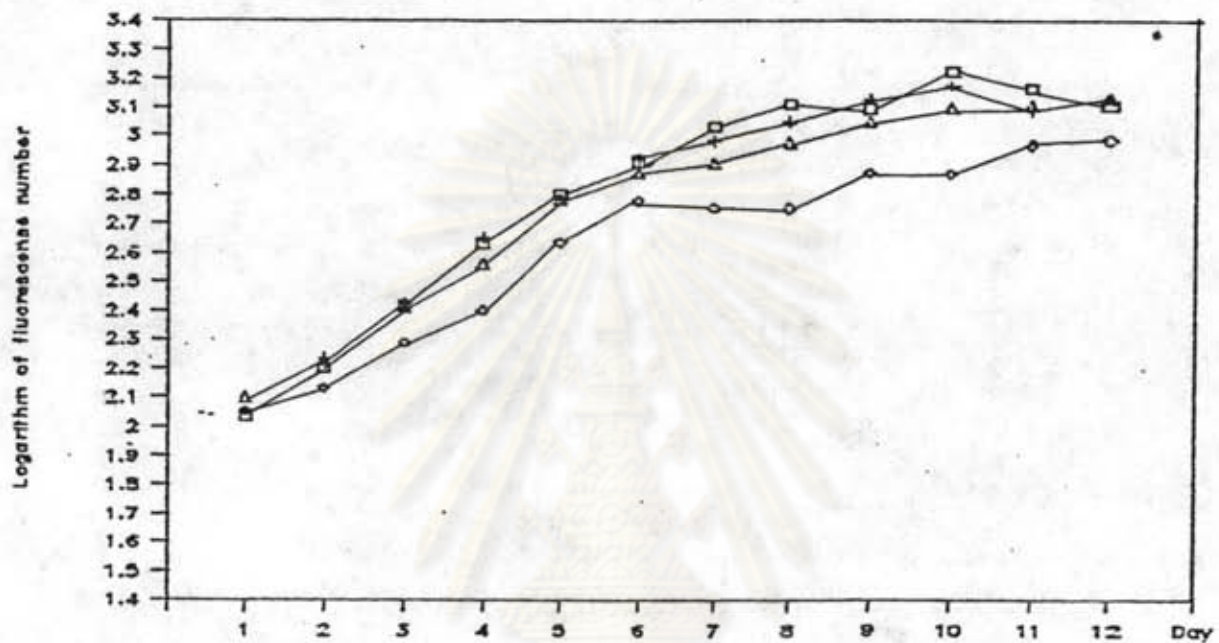
Humic acids concentration ($\mu\text{g/ml}$)	ASP+TI	
	Growth Constant $K \pm SD(\text{day}^{-1})$	Doubling Time D.T.(hrs.)
0	0.171 \pm 0.005	42.2
1	0.178 \pm 0.001	40.6
2	0.162 \pm 0.006	44.6
5	0.150 \pm 0.003	48.2



รูปที่ 43. กราฟการเจริญของ *P. tamarensis* เมื่อได้รับอิทธิพลร่วมของสารอาหารที่ระดับความเค็ม 20 %. และ ความเข้มข้นของกรดอีวามิกในน้ำทະเลที่ระดับ 0 (□), 1 (+), 2 (◊), 3 ml (△) และ 5 ml (●) ไมโครกรัมต่อมิลลิลิตร

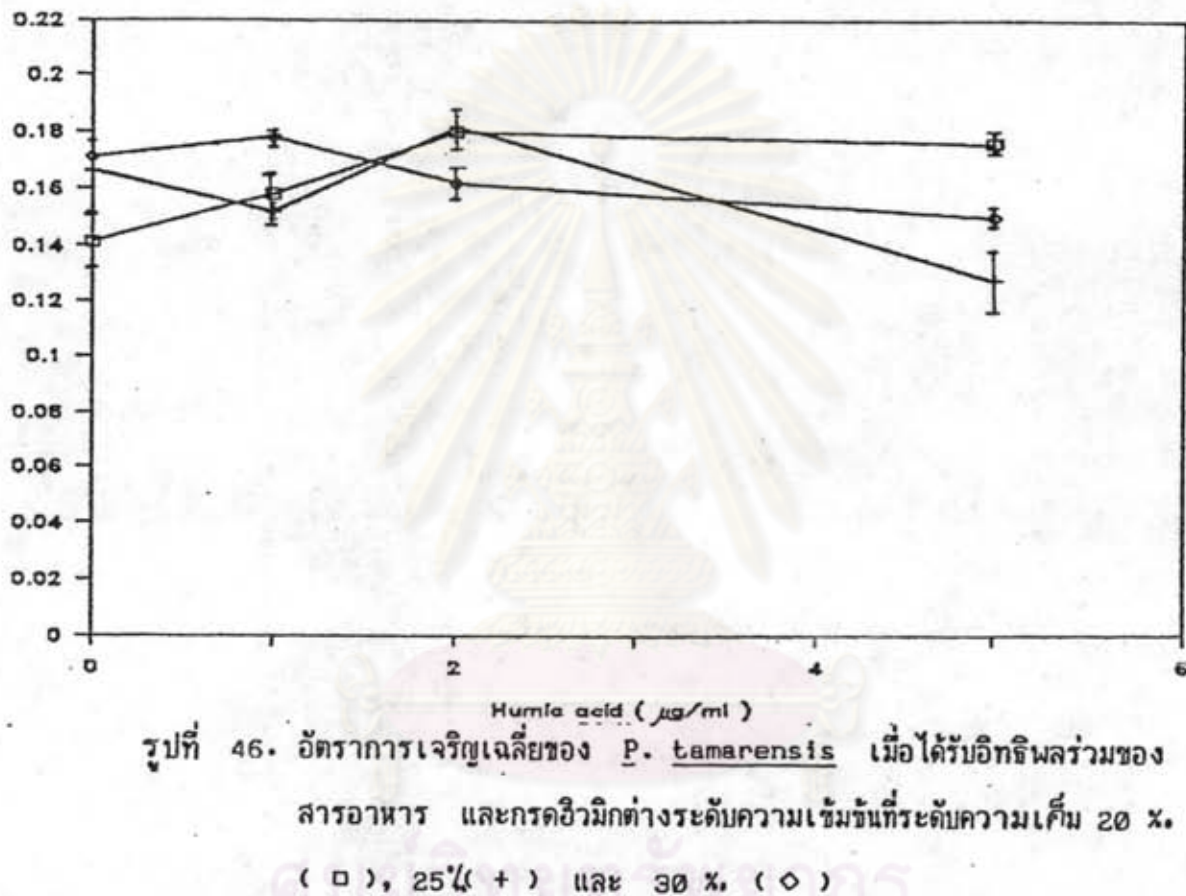


รูปที่ 44. กราฟการเจริญของ *P. tamarensis* เมื่อได้รับอิทธิพลร่วมของสารอาหารที่ระดับความเค็ม 25 %. และ ความเข้มข้นของกรดอีวามิกในน้ำทະเลที่ระดับ 0 (□), 1 (+), 2 (◊), 3 ml (△) และ 5 ml (●) ไมโครกรัมต่อมิลลิลิตร



รูปที่ 45. กราฟการเจริญของ *P. tamarensis* เมื่อได้รับอิทธิพลร่วมของสารอาหารที่ระดับความเค็ม 30 % และความเข้มข้นของกรดไขมันในน้ำทะเลที่ระดับ 0 (□), 1 (+), 2 (○) และ 5 (△) ในโถกำจัดต่ำมลลิตรา

Growth Constant



รูปที่ 46. อัตราการเจริญเจลี่ยของ *P. tamarensis* เมื่อได้รับอิกซิพลร่วมของสารอาหาร และกรดอีวามิกต่างระดับความเข้มข้นที่ระดับความเค็ม 20 %.
 (□), 25°C (+) และ 30 °C (◇)

ตารางที่ 16. อัตราการเจริญเติบโตของ *P. tamaricensis* เมื่อได้รับอิทธิพลของความเค็มสารอาหาร และการดื้อต้าน

Humic Acids ($\mu\text{g/ml}$) A	Salinity (%) B	Nutrient Enrichment (ml/l) C	Replications (Growth Constant)			Average Growth Constant
			1	2	3	
$a_1 = 0$	$b_1 = 20$	$c_1 = 0$	0.210	0.188	0.166	0.188
		$c_2 = 1$	0.141	0.152	0.130	0.141
	$b_2 = 25$	$c_1 = 0$	0.154	0.136	0.145	0.145
		$c_2 = 1$	0.166	0.164	0.168	0.166
	$b_3 = 30$	$c_1 = 0$	0.127	0.157	0.097	0.127
		$c_2 = 1$	0.166	0.171	0.176	0.171
$a_2 = 1$	$b_1 = 20$	$c_1 = 0$	0.239	0.191	0.215	0.215
		$c_2 = 1$	0.158	0.172	0.144	0.158
	$b_2 = 25$	$c_1 = 0$	0.160	0.159	0.158	0.159
		$c_2 = 1$	0.145	0.159	0.152	0.152
	$b_3 = 30$	$c_1 = 0$	0.137	0.117	0.157	0.137
		$c_2 = 1$	0.179	0.177	0.178	0.178
$a_3 = 2$	$b_1 = 20$	$c_1 = 0$	0.186	0.193	0.179	0.186
		$c_2 = 1$	0.184	0.180	0.176	0.180
	$b_2 = 25$	$c_1 = 0$	0.149	0.119	0.134	0.134
		$c_2 = 1$	0.168	0.182	0.196	0.182
	$b_3 = 30$	$c_1 = 0$	0.081	0.117	0.045	0.081
		$c_2 = 1$	0.153	0.147	0.150	0.162
$a_4 = 5$	$b_1 = 20$	$c_1 = 0$	0.170	0.203	0.157	0.170
		$c_2 = 1$	0.179	0.173	0.170	0.176
	$b_2 = 25$	$c_1 = 0$	0.098	0.106	0.102	0.102
		$c_2 = 1$	0.128	0.111	0.145	0.120
	$b_3 = 30$	$c_1 = 0$	0.123	0.138	0.153	0.130
		$c_2 = 1$	0.156	0.168	0.162	0.150

ตารางที่ 17. ตารางวิเคราะห์ความแปรปรวนของการเจริญของ P. tamarensis
แบบ แฟกตอเรียลที่มี 3 แฟกเตอร์

Source of Variation SOV	df	SS	MS	F
Humic acids,A	3	0.0039	0.0013	6.5 *
Salinity,B	2	0.0167	0.0083	41.5 *
Nutrient -				
Enrichment,C	1	0.0032	0.0032	16.0 *
AB	6	0.0119	0.0019	9.5 *
AC	3	0.0050	0.0016	8.0 *
BC	2	0.0156	0.0078	39.0 *
ABC	6	0.0030	0.0005	2.5
Error	48	0.0123	0.0002	

* เป็นค่าทาง $F_{0.05}(f_1, f_2)$

2.7 การศึกษาการแพร่กระจายขนาดของเซลล์

จากการศึกษาทั้วอย่างที่ด้วย น้ำยาฟอร์มาลิน 5 % ของ *P. tamarensis* ที่ระดับความเค็ม 20 % เมื่อไม่เติมสารอาหารและมีรยะคันความเข้มข้นของกรดอีวามิกในน้ำทะเลเป็น 1 ในโครงรัมต่อมิลลิลิตร ซึ่งให้อัตราการเจริญเติบโตสูง พบว่า ระยะ log phase เซลล์ที่มีขนาดใหญ่ (มากกว่า 38 ไมครอน) และเซลล์ที่มีขนาดเล็ก (38 - 20) มีปริมาณไม่แตกต่างกันมากนัก เมื่อเข้าสู่ระยะ log phase ประมาณวันที่ 3 เซลล์ขนาดเล็กจะเพิ่มปริมาณมากขึ้นเป็นองค์ประกอบที่สำคัญของประชากรและเซลล์ใหญ่จะเพิ่มปริมาณขึ้นด้วย แต่เมื่อถึงระยะ stationary phase เซลล์ขนาดเล็กยังคงเป็นองค์ประกอบที่สำคัญของประชากร เช่นเดิม ดังแสดงในรูปที่ 47

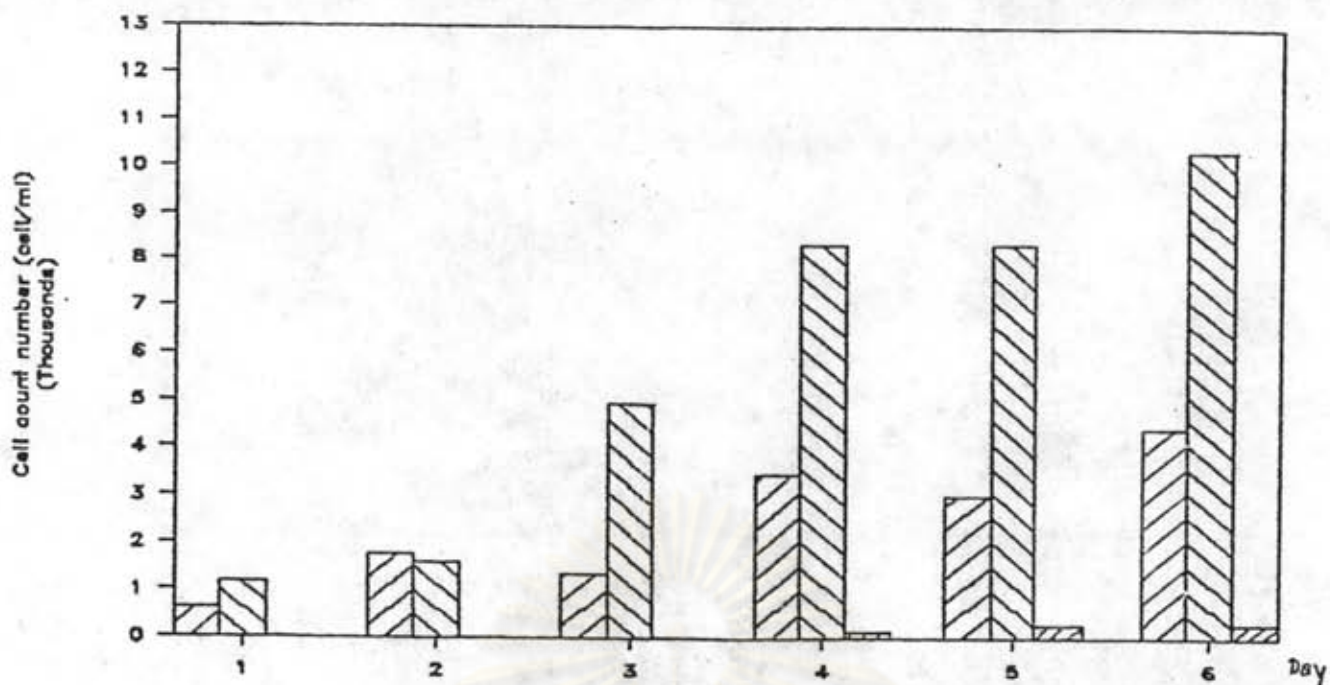
สำหรับที่ระดับความเค็ม 30 %. เมื่อเติมสารอาหารแต่ไม่เติมกรดอีวามิก พบว่า เซลล์ขนาด 20 - 38 ไมครอน จะเป็นองค์ประกอบที่สำคัญของประชากรตลอดทุกระยะของการเจริญ ดังแสดงในรูปที่ 48

2.8 การศึกษาขั้นตอนต่าง ๆ ของการแบ่งเซลล์

จากการศึกษาขั้นตอนการแบ่งเซลล์ของ *P. tamarensis* พบว่า ลักษณะการเคลื่อนที่ในขณะแบ่งเซลล์ และรายละเอียดของขั้นตอนการแบ่งเซลล์ที่สังเกตจากเซลล์ที่ย้อมด้วย acetocarmine พบว่าคล้ายคลึงกับการแบ่งเซลล์ของ *P. cohorticula* โดยมีระยะการแบ่งเซลล์แบบ mitotic cell division ดังนี้

1. ระยะ interphase ดังแสดงในรูปที่ 49
2. ระยะ prophase ดังแสดงในรูปที่ 50, 51
3. ระยะ metaphase
4. ระยะ anaphase ดังแสดงในรูปที่ 52
5. ระยะ telophase ดังแสดงในรูปที่ 53

เซลล์ซึ่งแบ่งเสร็จโดยสมบูรณ์ ดังแสดงในรูปที่ 54-55 จากการสังเกตการแบ่งเซลล์ของ *P. tamarensis* พบว่าเซลล์ที่แบ่งแล้วจะมีการต่อ กันเป็นสาย โดยในการศึกษารังนี้พบ เซลล์ต่อ กันมากที่สุด 4 เซลล์ แบ่งเซลล์ใน 1 สาย



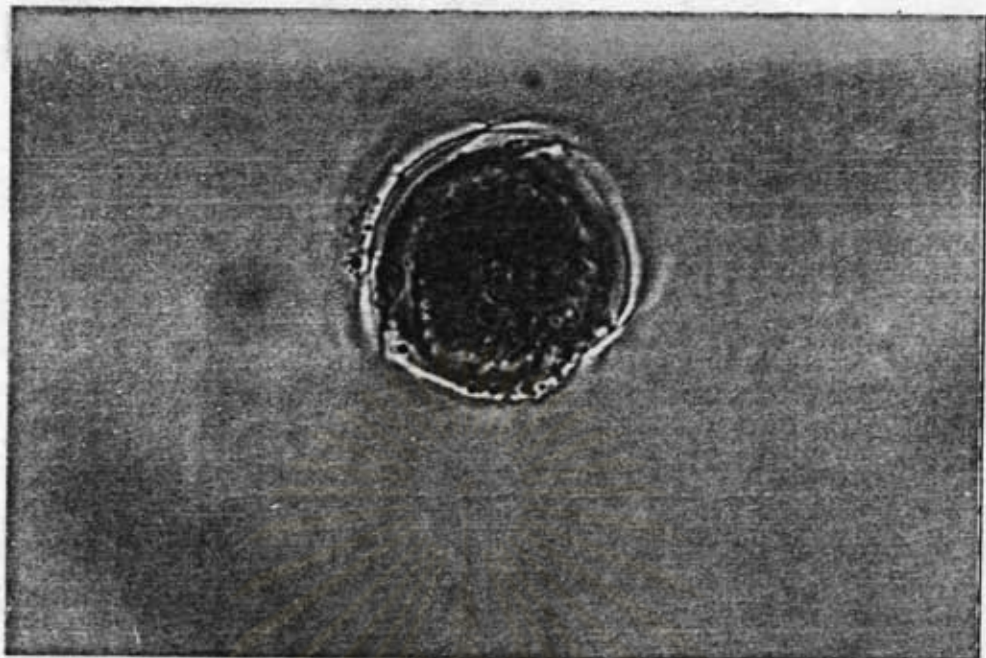
รูปที่ 47. การแพร่กระจายขนาดของเซลล์ *P. tamarensis* ที่ระดับความเค็ม 20 %. เมื่อได้รับอิทธิพลของกรดวิมิกที่ระดับความเข้มข้น 1 ไมโครกรัมต่้อมลลิลิตร

- ใหญ่กว่า 38 ไมครอน
- 20 - 38 ไมครอน
- เล็กกว่า 20 ไมครอน

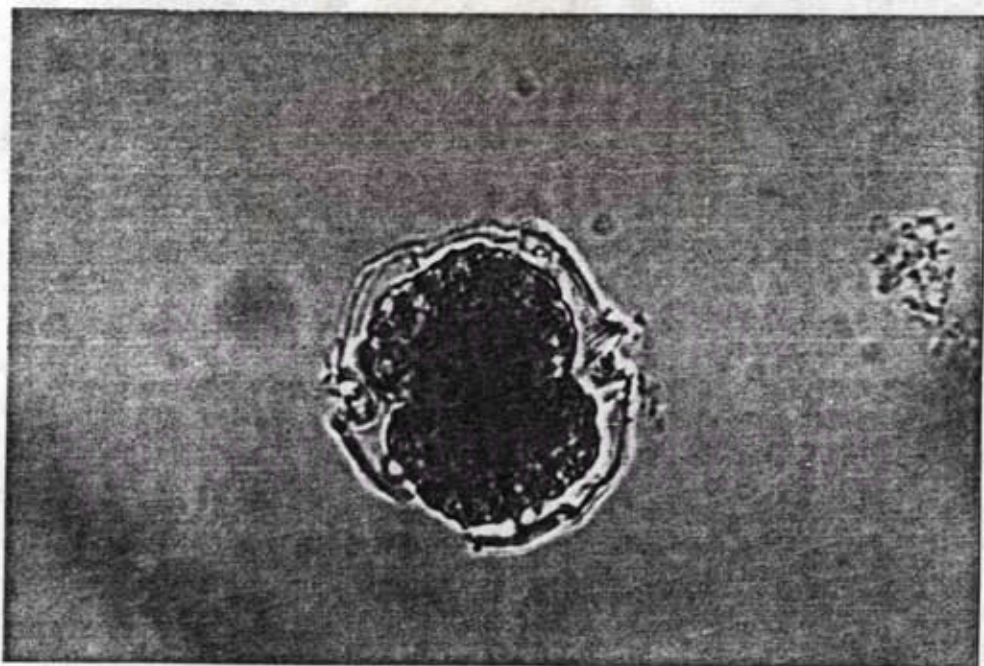


รูปที่ 48. การแพร่กระจายขนาดของเซลล์ *P. tamarensis* ที่ระดับความเค็ม 30 %. เมื่อได้รับอิทธิพลของสารอาหาร

- ใหญ่กว่า 38 ไมครอน
- 20 - 38 ไมครอน
- เล็กกว่า 20 ไมครอน



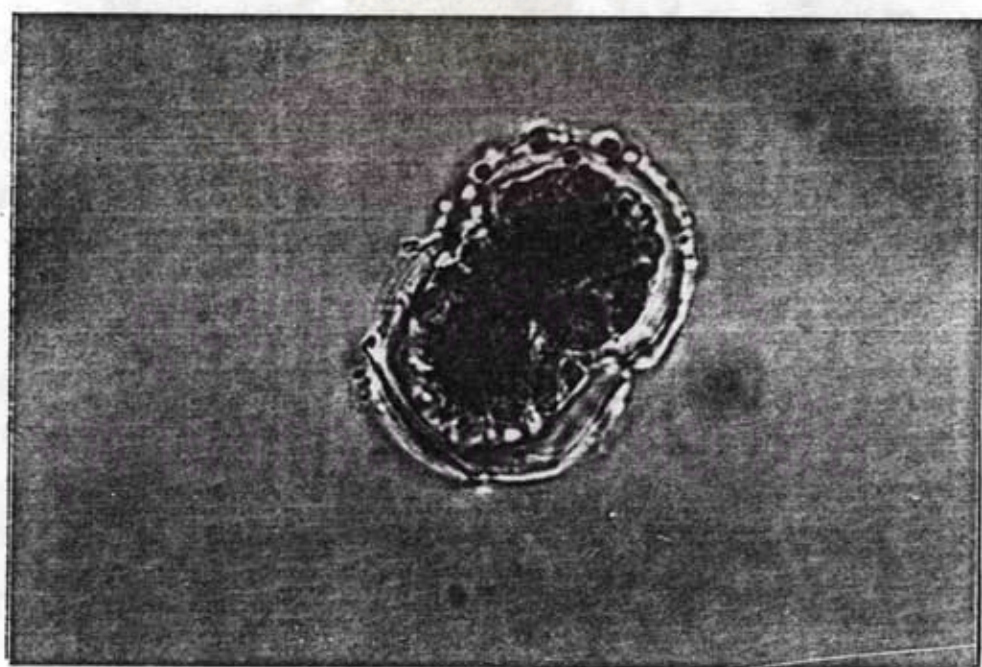
รูปที่ 49. การแบ่งเซลล์ระยะ interphase ของ P. tamarensis ($\times 1,000$ เท่า)



รูปที่ 50. การแบ่งเซลล์ระยะ prophase ของ P. tamarensis ($\times 1,000$ เท่า)



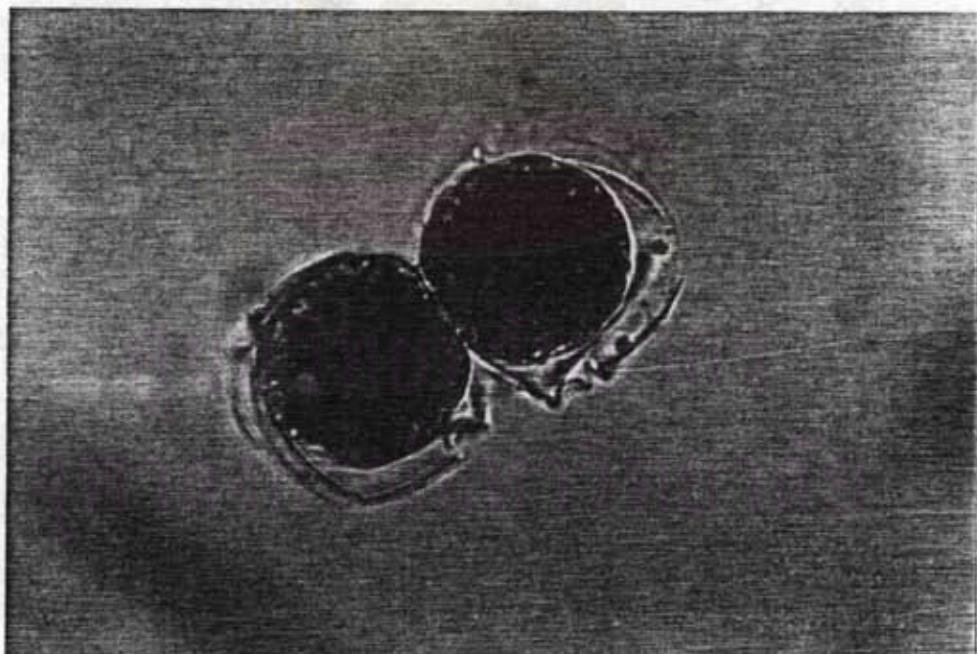
รูปที่ 51. การแบ่งเซลล์ระยะ prophase ของ P. tamarensis ($\times 1,000$ เท่า)



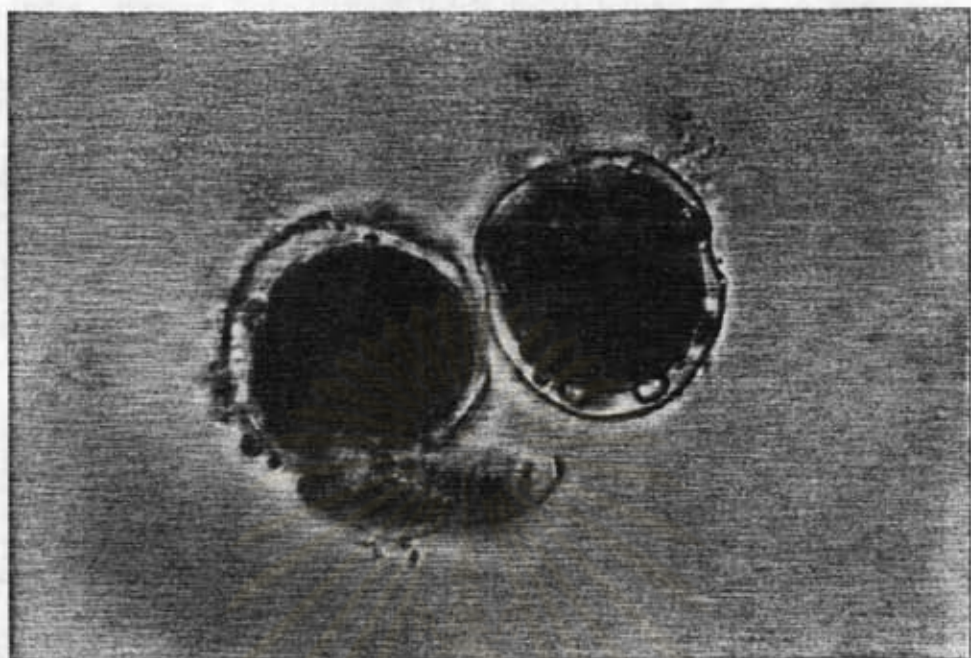
รูปที่ 52. การแบ่งเซลล์ระยะ early anaphase ของ P. tamarensis
($\times 1,000$ เท่า)



รูปที่ 53. การแบ่งเซลล์ระยะ early telophase ของ P.tamarensis ($\times 1,000$ เท่า)



รูปที่ 54. การแบ่งเซลล์ระยะ late telophase ของ P. tamarensis ($\times 1,000$ เท่า)



รูปที่ 55. เชลล์แบงค์ตัวเล็ก โดยสมบูรณ์ได้เชลล์ใหม่สองเชลล์

ศูนย์วิทยทรัพยากร
อุปกรณ์ครุภัณฑ์วิทยาลัย